

ТЕХНИЧЕСКИ УНИВЕРСИТЕТ – СОФИЯ

проф. к.т.н. Иван Ил. Стоянов, тл. ас. Димитър Г. Тодоров,
ст.ас. Огнян Н. Маринов, ст. ас. к.т.н. Марин Б. Маринов,
ас. Ангел В. Марков, н.с. Николаи П. Братанов

РЪКОВОДСТВО

ЗА ЛАБОРАТОРНИ УПРАЖНЕНИЯ ПО
ИЗМЕРВАНЯ В ЕЛЕКТРОНИКАТА

под редакцията на
проф. к.т.н. Иван Ил. Стоянов

СОФИЯ, 1990

Ръководството обхваща 10 теми за лабораторни занятия. Описани са методите за измерване на основни електрически величини и параметри на електронни елементи и електрически вериги.

В тях са описаны основни методи и съответните електронни средства за измерване на параметрите на електрически сигнали, елементи и вериги. Регламентирани са съответните способи за съставяне на опитни постановки и са дадени указания както за работа със съответните технически средства, така и за технологията, по която се провеждат експериментите и се оформят получените резултати.

Ръководството е предназначено за студентите от специалностите "Електронна техника и микроелектроника" и "Изчислителна техника" на Технически университет - София, но може да се ползува и други сходни специалности в страната.

Съдържание

Увод и общи указания за провеждане на лабораторните занятия.....	4
I. Статистическа оценка на точността на електронно-измервателната апаратура.....	7
II. Електроакустичен осцилоскоп.....	11
III. Изследване на RC-генератори.....	22
IV. Изследване на функционални генератори.....	32
V. Аналогово измерване на напрежение.....	42
VI. Цифрови мултиметри.....	51
VII. Аналогово измерване на честота и фазови разлики....	60
VIII. Цифрово измерване на честота и фазови разлики.....	70
Универсални броячи.....	77
IX. Измерване на RLCZ-параметри.....	77
X. Компютърен анализатор на електронни елементи.....	91
Литература.....	99

УВОД

Ръководството за лабораторни упражнения е предназначено за дисциплините "Измервания в електрониката" и "Измервания в изчислителната техника", за студентите от специалности "Електронна техника" и "Изчислителна техника" на Технически университет - София. Тематиката на лабораторните упражнения обхваща:

- * методи за оценка на точността;
- * аналогови и цифрови уреди за генериране на електрически сигнали и измерване на параметрите им – напрежение, ток, честота, фазови разлики, калинелни изкривявания и др.;
- * аналогови и цифрови уреди за тестване на елементната база на електрониката – резистори, кондензатори, бобини, диоди, транзистори и др.;

Провеждането на лабораторните занятия преследва следните цели:

- * затвърждава основни теоретични постановки свързани с методите на измерване и организация на експерименталната дейност;
- * запознава със схемни реализации на измервателни уреди и устройства и конструктивно технологични особености при тяхната физическа реализация;
- * способствува за придобиване на практически знания и умения за работа с електронно-измервателна апаратура, изследване на нейните характеристики и начин за оформяне на получените резултати.

В разработката на специализираните измервателни уреди изграждащи лабораторната база за провеждане на занятията са участвували: проф. к.т.н. Ив. Стоянов, гл. ас. Д. Тодоров, н.с. Р. Стайнов, ст. ас. О. Маринов, н.с. Н. Бретанов.

ОБЩИ УКАЗАНИЯ ЗА ПРОВЕЖДАНЕ НА ЛАБОРАТОРНИТЕ ЗАНЯТИЯ И ОФОРМИЯНЕ НА ПРОТОКОЛОТЕ

1. Предварителна подготовка.

Студентите се допускат до работа в лабораторната зала при следните две условия:

- * изработен протокол от предишното занятие;
- * предварителна подготовка за настоящето занятие относно: устройството и принципа на действие на изследвания измервателен уред; същността на характеристиките определящи неговите качества и методи за тяхното изследване; схеми на измервателните постановки и изисквания към използваните измервателни уреди и приспособления.

2. Ред за провеждане на лабораторните занятия и текущия контрол.

В първото занятие асистентът провежда кратък инструктаж по техника на безопасността и правилника за реда в лабораторията. При провеждане на лабораторните упражнения се спазват следните основни правила:

- Студентите разучават лабораторния макет, наличната измервателна апаратура и съврзват съответната опитна постановка.
- Включването под напрежение на измервателните уреди се извършва от асистента-ръководител на лабораторното занятие.
- Всички получени резултати се коментират съвместно с асистента. Експерименталната част се счита за приключена след даване на неговото съгласие.

3. Контрол на подготовката и оценка на знанията.

Контролът на подготовката и оценката на знанията за всяка тема се осъществяват на два етапа: при предварителното препитване и при предаване на протоколите от изработеното лабораторно упражнение.

4. Указания за оформяне на протокол.

Протоколите от изработените упражнения трябва да имат заглавна част и основни точки със съдържание както е описано по долу:

ТЕХНИЧЕСКИ УНИВЕРСИТЕТ – СОФИЯ		
Катедра: "Електронна техника" Дисциплина:		
Име:		Фак.№:
Специалност:		Група:
Дата:	Ръководител:	Оценка:

УПРАЖНЕНИЕ №...

Тема:.....

1. Задания:

Записват се задачите за изпълнение зададени в ръководството за лабораторни упражнения и допълнителните задания от ръководителя на упражнението.

2. Теоретична част:

В теоретичната част се отразяват основните теоретични постановки, методи и формули, използвани в лабораторното упражнение.

3. Експериментална част:

Изчертават се структурни, електрически и други схеми на опитните постановки, указаны от ръководителя на лабораторното упражнение.

4. Резултати от измерванията и анализ на получените резултати:

Резултатите от изпитанията се оформят в таблици и се изчертават съответни графични зависимости. На базата на получените графични и таблични резултати се прави анализ на метрологичното състояние на изследвания обект и на използваните методи за изследване.

I. СТАТИСТИЧЕСКА ОЦЕНКА НА ТОЧНОСТТА НА ЕЛЕКТРОННО-ИЗМЕРВАТЕЛНА АПАРАТУРА

1. Цел на лабораторното упражнение:

Целта на лабораторното упражнение е да научи студентите да изследват метрологическите характеристики на електронно-измервателната апаратура и да определят нейните системни и случаен грешки.

2. Необходима техническа окооплектовка:

Функционален генератор / 100 Hz – 100 kHz /;

Цифров честотомер / ±30 MHz; основна грешка $\pm 1.10E-6$ /;

Сързващи кабели: коаксиален кабел BNC 50Ω, 0.7 m – 1 бр.

Персонален компютър Правец 16 с монитор, клавиатура и минимум едно флогистическо устройство; оперативна памет > 256 kB; печатащо устройство; дискова 5.25" с DOS, STD (програма за създаване на файл с данни за статистическа обработка) и STATI (програма за статистическа обработка на данни от измервания).

3. Задачи за изпълнение

3.1. Да се изследва нестабилността на зададена Честота за функционален генератор.

Изследването се осъществява в следната последователност:

1.) Сързва се схема на опитна постановка съгласно фиг. 1.1.



фиг. 1.1.

2.) Задава се честота на генериране на функционалния генератор, fзад. (приблизително 10 kHz). Установява се подходящо база време за цифровия честотомер, така че измерваните резултати да се отчитат с разрядност ≥ 5 цифри. Снемат се 40 последователни отчета (f1) за честотата от цифровата индикация на честотомера – приет за образцов и резултатите се нанасят както е показано в таблица 1.1.

Таблица 1.1. Експериментални резултати от 40 на брой разпределени измервания на честотата с универсален честотометър.

N	1	2	3	4	5	...	38	39	40
f _i , [Hz]									

3.) Изчисляват се средната стойност ($f_{ср.}$), системната грешка ($\Delta f_{сист.}$) и средно-квадратичната грешка (σ) на функционалния генератор въз основа на първите 20 резултата на измерванията.

$$(1.1.1) \quad f_{ср.} = \frac{1}{20} \sum_{i=1}^{20} f_i$$

$$(1.2.1) \quad \Delta f_{сист.} = f_{ср.} - f_{зад.}, [\text{Hz}]; \quad \delta f_{сист.} = (\Delta f_{сист.}/f_{ср.}) \cdot 100, [\%]$$

$$(1.3.1) \quad \sigma^2 = \pm \frac{\sum \Delta f_i^2}{n-1}, [\text{Hz}]; \quad \text{отн.} = \frac{\sigma}{f_{ср.}} \cdot 100, [\%]$$

Резултатите се нанасят както е показано в Таблица 1.2.
Таблица 1.2.

N	1	2	3	4	5	...	18	19	20
f _i , [Hz]									
$\Delta f_i = f_i - f_{ср.}, [\text{Hz}]$									
$\Delta f_i^2, [\text{Hz}^2]$									

4.) За определените по горе систематична и средноквадратична грешка на функционалния генератор се оценява точността за един отчет на генерираната честота по следния начин:

а) избира се доверителна вероятност ($P_{дов.}$) от Таблица 1.3 (препоръчват се стойности $P_{дов.} = 0.5; 0.68; 0.997$) и се отчита съответната нормирана стойност на грешката ($t = \Delta f/\sigma$);

Таблица 1.3

P _{дов.}	0.1	0.3	0.5	0.68	0.90	0.997
t-Δf _{дов.} /σ	0.126	0.385	0.674	1	1.645	3

б) изчислява се доверителният интервал на грешката за съответните доверителни вероятности – $\Delta f_{дов.} = \sigma \cdot t$ и се определят доверителните граници, в които може да се намира единичния отчет:

$$f_{дов. min} = f_{ср.} - \Delta f_{дов.}; \quad f_{дов. max} = f_{ср.} + \Delta f_{дов.}$$

5.) Намира се средно квадратичната грешка на средната стойност.

$$(1.4.1) \quad \sigma_{ср.} = \frac{\sigma}{\sqrt{n}}, [\text{Hz}]; \quad \sigma_{ср. отн.} = \frac{\sigma_{ср.}}{f_{ср.}} \cdot 100, [\%].$$

Аналогично на описаното в т. 4. се определят доверителният интервал на грешката и доверителните граници на накрената средна стойност за съответните доверителни вероятности по формулите:

$$(1.5.1) \quad \Delta f_{ср. дов.} = \sigma_{ср.} \cdot t;$$

$$f_{ср. дов. min} = f_{ср.} - \Delta f_{ср. дов.}; \quad f_{ср. дов. max} = f_{ср.} + \Delta f_{ср. дов.}$$

Получените резултати се нанасят в таблица 1.4.

Таблица 1.4

P _{дов.}	*	0.5	0.68	0.90	0.997
$\Delta f_{дов.}, [\text{Hz}]$					
$f_{дов. min}, [\text{Hz}]$					
$f_{дов. max}, [\text{Hz}]$					
$\Delta f_{ср. дов.}, [\text{Hz}]$					
$f_{ср. дов. min}, [\text{Hz}]$					
$f_{ср. дов. max}, [\text{Hz}]$					

3.2. С помощта на компютърна система за статистически анализ да се изследва нестабилността на зададена честотата за функционален генератор.

Използва се инструкцията за работа с автоматизираната система за статистическа обработка на данни и се решават следните задачи:

1.) Въвеждат се чрез програмата STD първите 20 резултата от таблица 1.1. Посредством програмата STAT1 се изчисляват средната стойност ($f_{ср.}$), системната грешка ($\Delta f_{сист.}$) и средно-квадратичната грешка (σ) и се записват. Сравняват се резултатите с тези, които са получени при ръчна обработка на данните.

2.) Допълват се посредством програмата STB останалите отчетни стойности от Табл. 1.1. С помощта на програмата STATI се на-чертава хистограма и се отчитат параметрите характеризиращи точността на единичното и многократно проведени измервания с уреда на дадена величина ($f_{ср.}$; $\Delta f_{дов.}$; $f_{дов.}$; $\Delta f_{ср.дов.}$; $f_{ср.дов.}$; σ ; $\sigma_{ср.}$).

4. Контролни въпроси.

1.) Опишете опитната постановка за статистическо изследване на точността на електронно-измервателна апаратура! Как параметър се изследва?

2.) Каква е разликата между средната стойност и математическият очакване? При какви две условия средната стойност се доближава по-плътно до истинската стойност на измерваната величина?

3.) Начертайте примерни функции на плотността на разпределение за различни стойности на средно-квадратичното отклонение σ ? Как се отразява върху тяхния вид броят на проведените измервания?

4.) Какъв е смыслаят на доверителните вероятности при единични и многократни измервания?

5.) При какви условия на измерване и оценка на точността може да се определи систематичната грешка?

II. ЕЛЕКТРОННОЛЪЧЕВ ОСЦИЛОСКОП

1. Цел на упражнението.

Целта на упражнението е студентите да се запознаят с характеристиките, параметрите и основните функционални блокове на електроннолъчевите осцилоскопи, както и с начините за метрологичната им проверка.

2. Техническа окомплектовка.

За провеждане на упражнението е необходима следната техническа окомплектовка:

2.1. Електроннолъчев осцилоскоп – двуканален със следните характеристики:

Параметри на канал Y за вертикално отклонение:

–чувствителност – 0.01-1V/деление, в отношение 1:2:5;

–грешка \pm (3 % от чувствителността + 3 % от стойността на изследването напрежение);

–частотна лента ≥ 10 MHz, на ниво -3 dB;

Параметри на канал X за хоризонтално отклонение:

–развивка – линейна, вътрешна, външна;

–база (мощаб) на времето – 0.1ns/дел., $-0.1\mu s$ /дел.;

–грешка на базата за времето $\pm 5 \%$

2.2. Генератор за синусонаправно напрежение: диапазон на генерираните напрежения – 0-2Vrms (ефективна стойност); честотен диапазон на генерираните напрежения – 10Hz-100MHz; изходно съпротивление 750 Ω ; грешка при задаването на честотата и напрежението 1%.

3. Задачи за изпълнение.

3.1. Да се разучи описанието на електроннолъчевия осцилоскоп от точка 4.

3.2. Да се установи експериментално влиянието на органите за управление на осцилоскопа.

3.2.1. Установяване на лъча на канал A без входен сигнал.

–включва се захранващото напрежение на осцилоскопа;

–установява се Режим на непрекъсната развивка;

–избира се за изобразяване канал A;

-с помощта на потенциометрите за преместване по X "——" и за преместване на канал А по Y "||" се установява лъча в средата на экрана;

-с потенциометрите "ЯРКОСТ", "ФОКУС" и "АСТИГ"-натисък се установява достатъчно ярък, тънък и с резки контури лъч на экрана.

3.2.2. Стабилизиране на изображението в режим на непрекъсната развивка.

-към вход А на осцилоскопа се подава от генератора синусоидално напрежение с честота 1 kHz и ефективна стойност U_{rms} ;

-установява се подходяща чувствителност по Y на канал А (например 1V/cm.);

-установява се подходяща развивка на базата за време (например 0,5 ms/cm.);

-с помощта на потенциометъра "СТАБИЛНОСТ" се регулира развивката до получаването на сравнително неподвижен образ на экрана;

3.2.3. Синхронизиране на осцилоскопа в режим на чакаша развивка.

-избира се канала, по който ще се извърши синхронизацията: (канал А);

-установява се осцилоскопа в режим на чакаша развивка;

-с помощта на потенциометъра за ниво на синхронизация "НИВО" се установява на экрана стабилно изображение на входния сигнал;

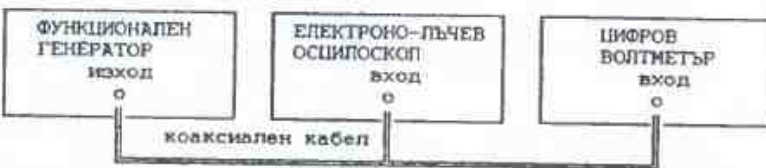
3.3. Да се изследва влиянието на видъ и нивото на синхронизация върху изображението на сигнала.

-регулира се нивото на синхронизация с потенциометъра "НИВО". Изменението в изобразяването на синусоидалното напрежение върху экрана на осцилоскопа се илюстрира с времедиаграми;

-променя се полярността на синхронизацията чрез натискане на бутон "+/-". Смяната на синхронизацията по преден или заден фронт се илюстрира с времедиаграми.

3.4. Да се определят грешките на осцилоскопа при измерване на електрическо напрежение.

-реализира се опитната постановка на фиг. 2.1



Фиг. 2.1

-от генератор на синусоидално напрежение се подава сигнал с честота 1 kHz и амплитуди в съответствие със зададените в таблица 2.1.

-от экрана на осцилоскопа се отчита размаха $Up-r$ на подаденото напрежение и се изчислява амплитудата $Um = Up-r / 2$.

-изчислява се ефективната стойност U_{rms} за отчетеното синусоидално напрежение: $U_{rms} = Um / \sqrt{2}$.

-изчислява се грешката на осцилоскопа при измерване на ниво на напрежение по формулата:

$$\text{боги.} = \frac{U_{rms} - U_{gen.}}{U_{gen.}} \cdot 100 \%$$

-результатите се нанасят в таблица 2.1.

Таблица 2.1

обхват. (V/дел)	0.1	0.2	0.5	1.0
$U_{gen.}$ (V rms)	0.2	0.4	1.0	2.0
$Up-r$ (V)				
U_{rms} (V)				
боги. (%)				
норма. (%)				

-прави се сравнение с нормата за грешка, дадена в точка 2.1 и се записва в протокола дали осцилоскопът отговаря на специфицираната точност при измерване на ниво на напрежение.

3.5. Да се провери точността на базата за време на осцилоскопа.

-изпълнява се опитна постановка от фиг. 2.1

-установява се базата за време (галетен превключвател "ВРЕМЕ/ДЕЛ") на стойностите t_i , посочени в таблица 2.2;

-от генератора се подава синусоидално напрежение с такава етапсна честота f_{gen} , че на екрана на осцилоскопа в разните на растерната мрежа да се получат M на броя цели периода (M - от 5 до 10);

-от екрана на осцилоскопа се отчита броят N на деленията по хоризонталната ос, съответстващи на M -те цели периода;

-изчислява се действителната стойност kt' на базата за време, оценена чрез периода T_{gen} на сигнала с еталонна честота f_{gen} , изчислена от скалата на генератора. Использува се формулата:

$$M \cdot T_{gen} = N$$

$$N \cdot f_{gen}$$

-изчислява се грешката δt на базата за време по формулата:

$$\delta t = \frac{kt' - kt}{kt} \cdot 100\%$$

-результатите се нанасят в таблица 2.2;

Таблица 2.2

зададена база време kt . [ns/дел.]	0,5	0,2	0,1	0,05
М цели периода. (бр.)				
Н деления по X. [дел.]				
измерена база време kt . [ns/дел.]				
δt . [%]				
норма. [%]				

-прави се сравнение с нормата за грешка, дадена в 2.1. и се записва в протокола дали осцилоскопът отговаря на специфицираната точност при задаване на базата (мащаба) на времето.

3.6. Да се снеме амплитудно-честотната характеристика на осцилоскопа и се определи честотната лента на Y канала му.

-чувствителността на Y канала за вход A се установява така, че при входен сигнал с честота 1 kHz разноскът на синусоидата да заеме 2/3 от скалата на екрана (Y_1):

-подават се от генератора на синусоидално напрежение честотите, указанни в таблица 2.3, като се поддържа неизменно ниво на сигнала;

-от екрана на осцилоскопа се отчитат деленията Y_f , съответствуващи на размака на изображения сигнал;

-изчислява се честотната грешка δf по формулата:

$$\delta f = \frac{Y_f - Y_1}{Y_1} \cdot 100\%$$

-результатите се нанасят в таблица 2.3;

Таблица 2.3

f_{gen} , [Hz]	100	1k	10k	100k	1M	2M	5M	10M	20M
Y_f , [дел.]									
δf , (%)									

-изчертава се амплитудно-честотната характеристика на Y канала в логаритмичен мащаб за честотата и от нея се определя честотната лента f_b на живо -3db на осцилоскопа.

3.7. Да се определи времето за нарастване на фронта на импулса, внасяно от осцилоскопа.

-времето t_p за нарастване на фронта на импулса, внасяно от осцилоскопа се определя чрез граничната честота по формулата:

$$t_p = 0.35/f_b$$

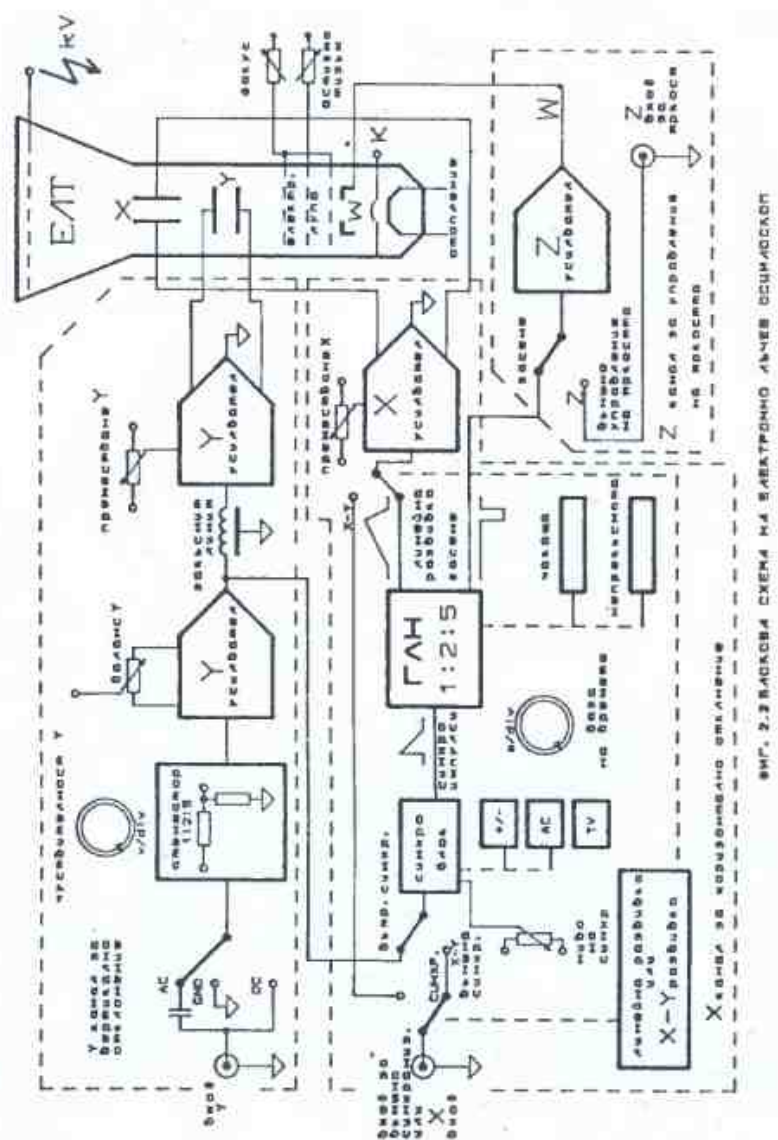
-да се оцени с колко наносекунди осцилоскопът ще удължи времето на фронта на TTL сигнал, който нараства за 10ns. Времената на фронтовете се сумират квадратично. Изчисленията да се запишат в протокола.

4. Теоретична част

Структурната схема на електронно-пъчевия осцилоскоп е показвана на фиг. 2.2. Основните възли на осцилоскопа са групирани в 5 функционални блока - канал за вертикално отклонение (Y канал), канал за хоризонтално отклонение (X канал), електронно-пъчева тръба, блок за синхронизация и канал за управление на яркостта (Z канал).

Предназначението на Y канала е да отнема пъча на осцилоскопа по вертикалната ос на екрана на електронно-пъчевата тръба в линейна зависимост от стойността на подаденото напрежение U_y на входа на Y канала (Y вход).

Чувствителността зависи от коефициента на предаване по напрежение в Y канала. За да могат да се изобразяват с осцилоскопа напрежения с големина от миливолти до десетки волти коефициентът



на усилване на Y канала се променя с входния АТЕНОУАТОР. Каналът за вертикално отклонение е възможно да работи в три режима, в зависимост от превключвателя DC/GND/AC на входа ю. В режим GND входът на Y канала вътрешно се замаскива и на екрана се изобразява нико за напрежение 0V. В режим DC на екрана се изобразява изцяло входното напрежение U_y . В режим AC на екрана се изобразява само променливата съставка на входното напрежение U_y . Електронните усилватели в Y канала определят ЧЕСТОТНАТА ЛЕНТА на осцилоскопа. Горната гранична частота f_b определя и изкривяванията на фронта при изследване на импулси напрежения, удължавайки времето на фронта приблизително с $t_p = 0.35/f_b$ секунди (вихте задача за изпълнение 3.7). При работа на Y канала в AC режим, амплитудно-частотната характеристика на осцилоскопа има и долната гранична частота f_n , която от своя страна изкривява платото на правоъгълните сигнали. Бръзката между големината на импулса h , спадането на платото му Δh при изобразяването му на екрана на осцилоскопа и продължителността T_i на импулса се дава с приблизителната формула:

$$\frac{\Delta h}{h} = 2 \cdot \pi \cdot f_n \cdot T_i = \frac{T_i}{\tau}$$

където τ е времеконстантата определена от входното съпротивление на атенюатора и разделителния кондензатор на входа на Y канала на осцилоскопа.

Каналът за вертикално отклонение (X канал) обикновено се използва в режим на вътрешна линейна разделявка и е съставен от следните блокове:

-генератор на линейно напрежение (ГЛН). Предназначението му е да генерира линейно изменящо се напрежение със скорост dU/dt пропорционална на зададената БАЗАТА ЗА ВРЕМЕ (машаб на времето);

-електронен усилвател на X канала. Усилива напрежението от изхода на ГЛН и го подава на плочите за хоризонтално отклонение на електронно-лъчевата тръба. Кофициентът на усилване на X усилвателя и скоростта dU/dt на ГЛН са така подбрани, че времето за предвиждане на лъча по хоризонталната ос на екрана "за едно деление да съответствува на задания от БАЗАТА ЗА ВРЕМЕ машаб;

-синхроблок. Използва се в режим на чакаща развивка. Предназначението му е при достигане на входното напрежение до определено НИВО НА СИНХРОНИЗАЦИЯ да подава към ГЛН импулс за начало на

линейната разливка. Нивото на синхронизация се задава с потенциометъра НИВО. При избор на ВЪТРЕШНА СИНХРОНИЗАЦИЯ напрежението за синхронизация се взима от Y канала. При избрана ВЪНШНА СИНХРОНИЗАЦИЯ, напрежението за синхронизация се взема от изведен на лицевия панел вход.

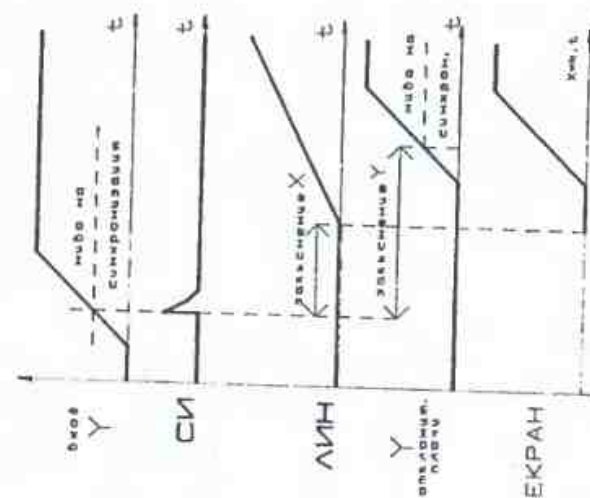
Изработването на синхроимпулса зависи от следните тригери условия: избрания фронт за синхронизация ("+/-" т.е. преден/заден); синхронизация по телевизионен сигнал и др.

Режимът на вътрешна линейна разливка може да се реализира по два начина – режим на непрекъснатата (автоматична) разливка и режим на чакаша (нормална) разливка. Разликата в двата режима се състои в механизма на работа на ГЛН. При непрекъснатата разливка ГЛН не чака появата на синхроимпулс за да започне изработването на линеиното напрежение. Механизмът на работата му е следния: ГЛН сам се запуска и изработка линейно изменящото се напрежение; при достигане на ниво отговарящо на крайно дясно положение на лъча на екрана ГЛН автоматично се нулира; след определено ВРЕМЕ НА ЗАДЪРЖАНЕ, ГЛН отново сам се запуска и цикълът на разливката се повтаря. Времето за задържане може да се регулира с потенциометър СТАБИЛНОСТ. Тъй като ГЛН генерира напълно самостоятелно, то не може да се постигне абсолютна кратност между периода на изследвания сигнал и разливката, в резултат на което се получава нестабилно изображение на екрана. Този недостатък се отстранява с режима на чакаша разливка.

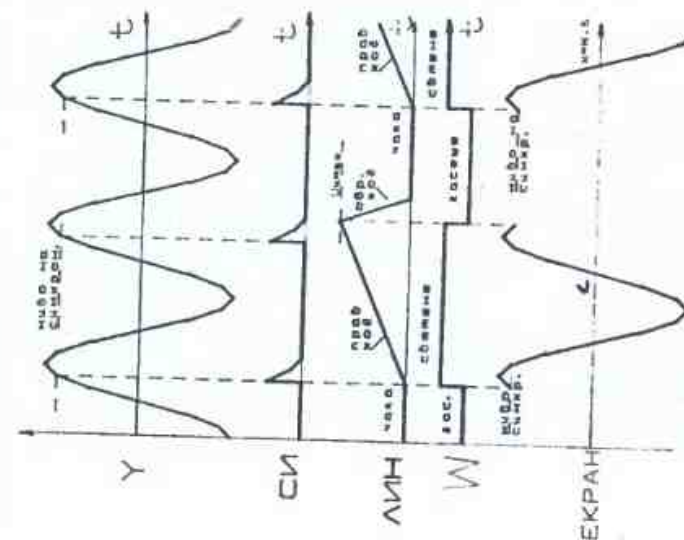
За разлика от непрекъснатата разливка, в режим на чакаша разливка ГЛН се запуска само при поява на синхроимпулс. При достигане на ниво U_{max} на ЛИН, отговарящо на крайно дясно положение на лъча на екрана, ГЛН автоматично се нулира и чака нов синхроимпулс. При появата на синхроимпулс процедурата се повтаря. Механизмът на работа при чакаша разливка е илюстриран на фиг. 2.3.

Чакашата разливка осигурява кратност между периода на сигнала и периода на линейната разливка, поради което изображението на екрана на осцилоскопа е неподвижно.

За наблюдаване на фронтове на импулси се въвежда закъснителна линия в Y канала, компенсираща закъсняването на линейната разливка. Наблюдението на фронт на импулси е илюстрирано на фиг. 2.4.



Фиг. 2.4 НАБЛЮДЕНИЕ ФРОНТ НА ИМПУЛС



Фиг. 2.3 НОРМАЛНА ЧАКАША РАЗЛИВКА

Каналът за хоризонтално склонение може да бъде използван и в режим на външна разделяка (Х-У разделяка). Отклонението на лъча по оста Х се определя от подаваното външно напрежение (както при У канала).

Предназначението на канала за управление на яркостта (Z канал) е да гаси лъча на електронно-лъчевата тръба когато входният сигнал не трябва да се изобразява. При линейна разделяка на осцилоскопа (фиг. 2.3) изображението носещо информация за сигнала е само по времето на правия ход на лъча. По време на обратния ход на лъча посредством Z канала се запушва венелтовия цилиндр на електронно-лъчевата тръба, което забранява визуализацията на изображението. Сигнал за светене или ГАСЕНЕ на лъча се подава от ГЛН. В някои осцилоскопи има изведен вход Z, чрез който яркостта на лъча може да се управлява с външно напрежение, което в режим на X-Y разделяка, разширява възможностите на осцилоскопа за измерване на фазови разлики и сравняване на честоти чрез осъществяване на кръгови разделяки и управление на яркостта на лъча.

Ръчно яркостта на светене се регулира с потенциометър, подаваш допълнително постоянно напрежение към входа на Z усилвателя.

Електронно-лъчева тръба (ЕЛТ). Предназначението ѝ е да изобразява подадените напрежения от изходите на X и Y канали с яркост определена от Z канала. За получаването на ясно изображение, напрежението на Решетките (електронната лупа) на ЕЛТ ръчно се регулират с потенциометрите ФОКУС и АСТИГМАТИЗМ, изведени на лицевия панел на осцилоскопа.

Електронно-лъчевите осцилоскопи имат следните по-характерни органи за управление:

-ПРЕМЕСВАНЕ ПО Y ("|"). Най-често това е потенциометър с който се подава допълнително постоянно напрежение на входа на Y усилителя, в резултат на което на экрана изображението на сигнала се премества ръчно нагоре- надолу;

-БАЛАНС НА Y. Потенциометър (обикновено достъпен само с тънка отверка), с който се коригира входното напрежение на несиметрия на съответния Y канал.

-Инвертиране на Y канал. Бутон, с който се сменя знака на коефициента на предаване на Y канала. При двуканалните осцилоскопи обикновено може да се инвертира само канал B и тогава означението на бутона на лицевия панел е ИНВЕРТ.В.

-Избор на канал при двуканалните осцилоскопи. Това са най-често един или два позиционни првклиничватели или бутони полета, с които се избира кой Y канали да се изобразяват на экрана (канал А или канал B, или и двата) както и начинът за изобразяването им един след друг (алтернативно) в последователни линейни разделяки, единвременно (накъсване във времето) в рамките на линейната разделяка; сумиране на двета канала, при което изображението на экрана е едно и представлява сума от изображенията на двета канала. Когато се сумират двета канала, но единият от тях е инвертиран, може да се изобразява диференциалната разлика между напрежението, подадени на Y входовете A и B.

-ПРЕМЕСВАНЕ ПО X ("←→"). Най-често това е потенциометър, чрез който се подава допълнително постоянно напрежение на входа на X усилителя, за преместване на изображението на сигнала наляво или надясно;

-X.5 или X.10. Това е бутон, с който се увеличава съответно 5 или 10 пъти усилването в X канала, в резултат на което лъча се движи с 5 или 10 пъти по-голяма скорост по хоризонтала на экрана. Толкова пъти се променя настройка на времето спрямо зададения от БАЗАТА ЗА ВРЕМЕ.

5. Контролни въпроси.

- 1.) С какво се отличава електронно-лъчевия осцилоскоп от другите електронни измервателни уреди?
- 2.) Какво представлява линейната разделяка на електронно-лъчевия осцилоскоп и за какво служи?
- 3.) Каква е разликата между непрекъсната и чакаща разделяки?
- 4.) Шо е чувствителността на осцилоскопа? В какъв диапазон и с каква стъпка се променя тя?
- 5.) Как се проверява точността на чувствителността на осцилоскопа? От какъв порътък са грешките при измерване на напрежение?
- 6.) Какви параметри характеризират хоризонталното отклонение на електронно-лъчевия осцилоскоп?
- 7.) Какво представлява параметъра "частотна лента на осцилоскоп"? Как се определя експериментално количествената му стойност?
- 8.) Илюстрирайте с времедиаграма механизма на синхронизация на осцилоскопа по вътрешен сигнал в режим на чакаща разделяка!

III. ИЗСЛЕДВАНЕ НА RC-ГЕНЕРАТОР

1. Цел на лабораторното упражнение.

Целта на лабораторното упражнение е да се запознаят студентите с устройството и принципа на действие на нискочестотни измервателни генератори, както и с методите за тяхното изследване.

2. Техническа окомплектовка.

За провеждане на лабораторното занятие е необходима следната апаратура и допълнителни съоръжения.

2.1. Лабораторен макет "Нискочестотен RC-генератор".

Лабораторният макет "Нискочестотен RC-генератор" е комбиниран уред, съставен от три самостоятелно оформени блока: генераторен блок, резекторен филтър и аналогов волтметър за променливи напрежения – фиг. 3.1



Фиг. 3.1

2.1.1. Основни технически параметри на генераторната част на уреда са:

- честота на изходния сигнал от 10Hz до 100kHz в четири подобхвата: 10Hz - 100Hz, 100Hz - 1kHz, 1kHz - 10 kHz, 10kHz - 100kHz;
- грешка в установяване на честотата $\leq \pm 10\%$;
- ниво на изходния сигнал от 0 V_{eff} до 1 V_{eff} в три подобхвата: 0mV - 10mV, 10mV - 100mV, 100mV - 1V;
- грешка в установяване на нивото на изходния сигнал за трите подобхвата $\leq \pm 5\%$;
- нестабилност на нивото на изходния сигнал в генерираната честотна област $\leq \pm 15\%$;
- коефициент на нелинейни изкривявания $\leq \pm 1\%$;
- изходно съпротивление $600\Omega \pm 5\%$.

2.1.2. Основни параметри на измервателя на нелинейни изкривявания (резекторен филтър и аналогов волтметър).

Основните параметри на измервателя на нелинейни изкривявания са дадени в табл. 3.1.

Таблица 3.1.

№	Наименование на параметъра	Обхват	Точност
1	Измервателни обхвати и точност на аналогов волтметър	0 - 10mV 0 - 100mV 0 - 1V	$\pm 5\%$ от цялата скала
2	Обхват и точност при измерване на нелинейни изкривявания	0 - 1% 0 - 5% 0 - 20% 0 - 100%	$\pm 5\%$ от цялата скала

2.2. Цифров честотомер ($\geq 10MHz$, основна грешка $\leq 0.001\%$).

2.3. Волтметър за променливо напрежение с основна грешка $\leq 1\%$ и честотна лента $\geq 1MHz$.

2.4. Осцилоскоп с честотна лента $\geq 1MHz$.

2.5. Резистор $500\Omega \pm 1\%$.

3. Задачи за изпълнение.

3.1. Да се разучи принципа на действие на RC-генератора и измервателя на нелинейни изкривявания описани в точка 4.1!

3.2. Да се изчислят максималните и минималните честоти за отделните честотни обхвати на RC-генератора за стойностите на кондензаторите от фиг. 3.7, като се знае че максималната и максималната стойност на съпротивлението на R-групите са $R_{min} = 1k$ и $R_{max} = 11k$!

3.3. Да се проверят честотните обхвати и грешката в установяване на честотата на RC-генератора!

Проверката се извършва както следва:

Осъществява се схема на опитната постановка показвана на фиг. 3.2. Установява се честотен обхват за RC-генератор 10Hz - 100Hz. За всяка точка от награвения диск на потенциометъра за плавно изменение на честотата се измерват действително генерираните честоти с помош на цифров честотомер. Изчислява се относителната грешка в установяване на честотата съгласно формулата:

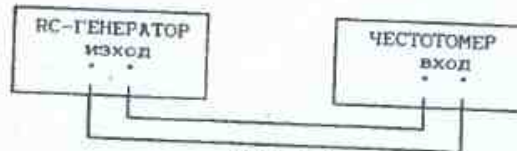
$$(3.1) \quad \delta_{rel.} = (f_{act} - f_{nom}) / f_{nom}, \text{ [%].}$$

където: $f_{уст}$ е установената честота на RC-генератора в съответствие с разграфения диск на потенциометъра за плавно изменение на честотата;
 Δf е измерената от цифровия честотомер стойност за честотата.

Същите измервания се осъществяват и за останалите обхвати. Резултатите се нанасят в табл. 3.2. Чертаят се графики на грешката при установяване на честотата $\frac{\Delta f}{f_{уст}} = F(f_{уст})$.

Таблица 3.2.

Обхват	Деление	1	2	4	8	10
1	$f_{уст}, [\text{Hz}]$					
	$\Delta f, [\text{Hz}]$					
	$\frac{\Delta f}{f_{уст}}, [\%]$					
	$\Delta f_{\text{доп.}}, [\%]$	$\pm 10\%$				
	ДА / НЕ					
2						
3						
4						



Фиг. 3.2

3.4. Да се проверят нивата на изходните напрежения на RC-генератора!

Проверката се осъществява по следния начин:

Осъществява се схема на опитна постановка съгласно фиг. 3.3. Установява се честота на генериране около 2 kHz и произвольно избран обхват за ниво на изходния сигнал на RC-генератора. За всяко деление от скалата на потенциометъра за плавно изменение на изходното напрежение на RC-генератора се измерва изходното напрежение с електронен волтметър. Изчислява се относителната грешка $\frac{\Delta f}{f_{уст}}$.

(3.2)

$$\frac{\Delta f}{f_{уст}} = \frac{(U_{изм} - U_{уст})}{U_{уст}} \cdot 100 [\%],$$

където: $U_{уст}$ е ефективната стойност на напрежението, установено от скалата на потенциометъра;
 $U_{изм}$ е измерената с волтметър стойност на изходното напрежение.

Резултатите от измерванията и изчисленията се нанасят в табл. 3.3. Чертаят се графиката $\frac{\Delta f}{f_{уст}} = F(U_{изм})$.

Таблица 3.3.

Обхват	Деление	1	2	4	8	10
1	$U_{уст}, [\text{V}]$					
	$U_{изм}, [\text{V}]$					
	$\frac{\Delta f}{f_{уст}}, [\%]$					
2						
3						
4						

RC-ГЕНЕРАТОР изход	РЕЖЕКТОРЕН ФИЛТЪР	ВОЛТМЕТЪР вход
•	•	•

Фиг. 3.3

3.5. Да се провери стабилността на изходното напрежение в генерираната честотна област!

Проверката се осъществява по схема на опитна постановка, показана на фиг. 3.3 по следния начин.

Установява се изходен сигнал на RC-генератора с честота 2 kHz и ниво 0,8 V. За произвольно избран честотен обхват при фиксирано положение на потенциометъра за регулиране на изходното ниво, се измерва изходното напрежение в 5 точки от честотния обхват. Построява се АЧХ на RC-генератора за избрания обхват.

3.6. Да се провери коефициента на нелинейни изкривявания на RC-генератора!

Проверката се осъществява по схема на опитна постановка, показана на фиг. 3.4 по следния начин.

Подава се от RC-генератора сигнал с честота 2.5 kHz и ефективна стойност на напрежението около 1 V към входа на режекторния филтър. Изхода на последния се свързва към входа на аналоговия волтметър. Включва се бутон "КАЛ" на режекторния филтър и се установява измервателен обхват 1 V на волтметъра. Регулира се амплитудата на изходния сигнал до получаване на пълно отклонение по скалата на аналоговия волтметър.

Включва се бутон "100%" на рехекторния филтър. Чрез последователна донастройка на честотата на изследвания сигнал и потенциометъра от полето на рехекторния филтър се установява минимално показание на скалата на аналоговия волтметър.

Процедурата се повтаря и за всеки следващ обхват от рехекторния филтър (20%, 5%, 1%), до получаване на минимално възможен коефициент на нелинейни изкривявания. Стойността на коефициента на нелинейни изкривявания се отчита, като се вземе в предвид показванието на стрелката на скалата на аналоговия волтметър и установения измервателен обхват на рехекторния филтър.

Качествена оценка на генерираното напрежение от RC-генератора може да се направи и чрез наблюдение на последното на екрана на електронно лъчев осцилоскоп.



Фиг. 3.4

3.7. Да се провери изходното съпротивление на RC-генератора. Проверката се осъществява по схема на опитната постановка от фиг. 3.5. Установява се сигнал от RC-генератора с честота около ≈ 2 kHz и ниво на изходния сигнал $U_1 = 1V$ при ненаговарен изход. Включва се товарен резистор $R_t = 500 \Omega$ в изхода на генератора и се отчита стойността на изходния напрежение U_2 . Изходното съпротивление се изчислява по формулата:

$$(3.3) \quad R_{\text{изх}} = (U_1 - U_2) / U_2 \cdot R_t, [\Omega].$$



Фиг. 3.5

4. Теоретична част.

4.1. Устройство и принцип на действия на RC-генератора.

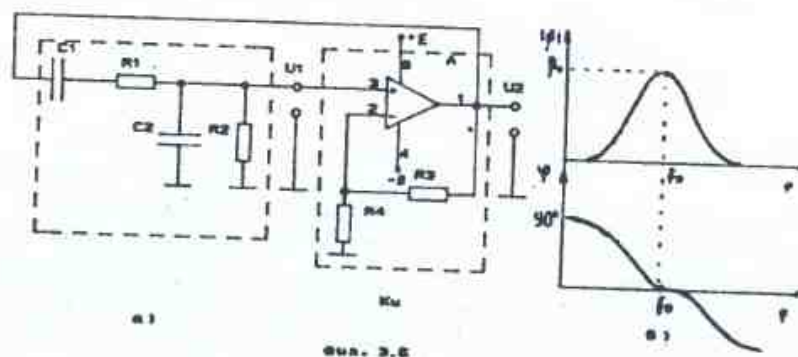
Автогенераторът в лабораторния макет "Нискочестотен RC-генератор" е реализиран по схемата показана на фиг. 3.6. Усилвателят е обхванат от честотно зависима положителна и честотно независима отрицателна обратна връзка. От условието за самовъзбудждане при $R_1=R_2=R$ и $C_1=C_2=C$ се получават следните основни формули за оразмеряване на схемата:

$$(3.4) \quad f_0 = \frac{1}{2 \pi R C}$$

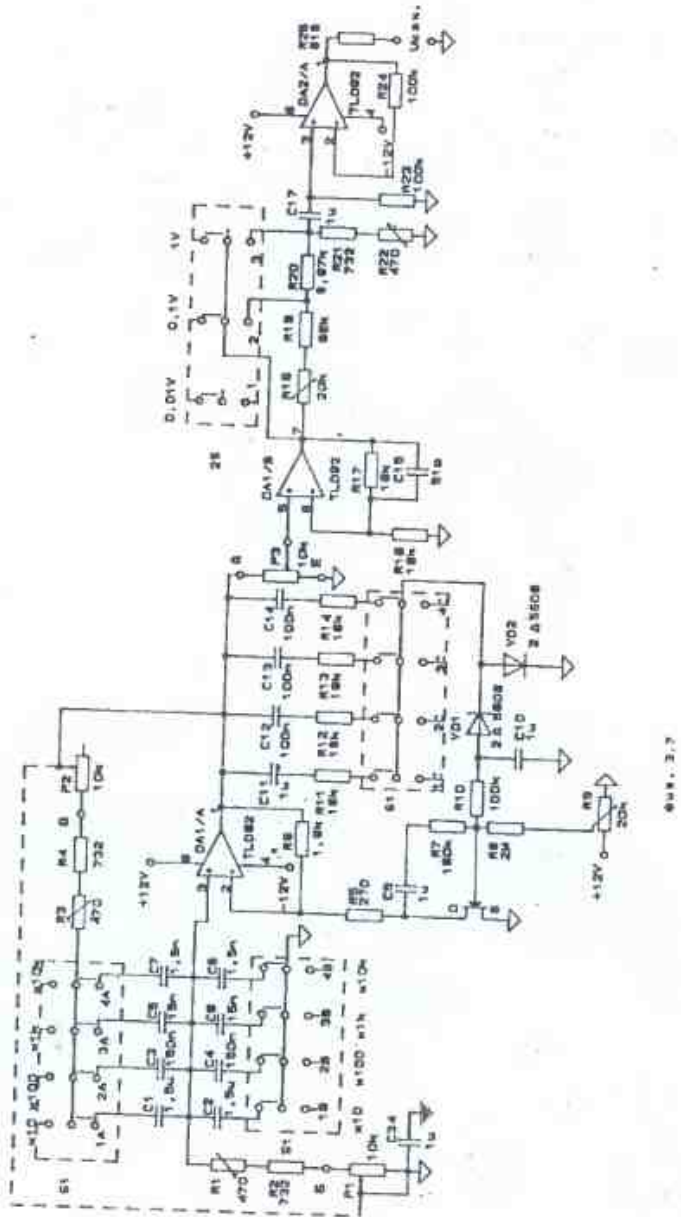
$$(3.5) \quad K_u = (R_3 + R_4)/R_4 = 3$$

Където: f_0 е честотата на генерираното колебание, а K_u е коефициент на усилване с отрицателната обратна връзка
Приложната електрическа схема на RC-генератора е показана на фиг. 3.7.

Генериращата част е реализирана с операционен усилвател DA1/A (1/2 TL 082). Чрез слесения потенциометър P_1, P_2 се изменя плавно честотата на всички подобхвати. Смяната на подобхватите се осъществява чрез едновременно превключване на кондензаторите $C_1-C_2, C_3-C_4, C_5-C_6$ и C_7-C_8 . Отрицателната обратна връзка е осъществена



Фиг. 3.6



чрез резисторите R5, R6 и съпротивлението Rds на канала на полевия транзистор VT1 (КП 303А). Стойността на Rds се управлява от изходния сигнал. По този начин се стабилизира изходната амплитуда. Регулиращото действие на обратната връзка е следното. При първоначално звънчане на захранването, напрежението на гейта на полевия транзистор е положително и съпротивлението на канала Rds юпоколю. Това определя основната дълбочина на отрицателната обратна връзка, която осигурява сигурно възбудяване на генератора. Диодите VD1 и VD2 заедно с кондензаторите C10 и C11 (C12, C13 или C14) образуваат върхов детектор със закрит вход за изходния сигнал. При увеличаване на изходната амплитуда под действието на дестабилизиращ фактор, отрицателното напрежение подадено към гейта на транзистора VT1 нараства. Това поражда увеличаване на съпротивлението на неговия канал, с което отрицателната обратна връзка става по-дълбока и се намалява изходната амплитуда на сигнала.

Плавното изменение на изходната амплитуда на RC-генератора се осъществява с потенциометъра Р3, а стъпално чрез декадния делител R18 – R22. Между тях е включен буферен усилвател DA1/B. Буферният усилвател DA2/A и резисторът R25 осигуряват постоянно изходно съпротивление на генератора.

4.2. Измервател на нелинейни изкривявания.

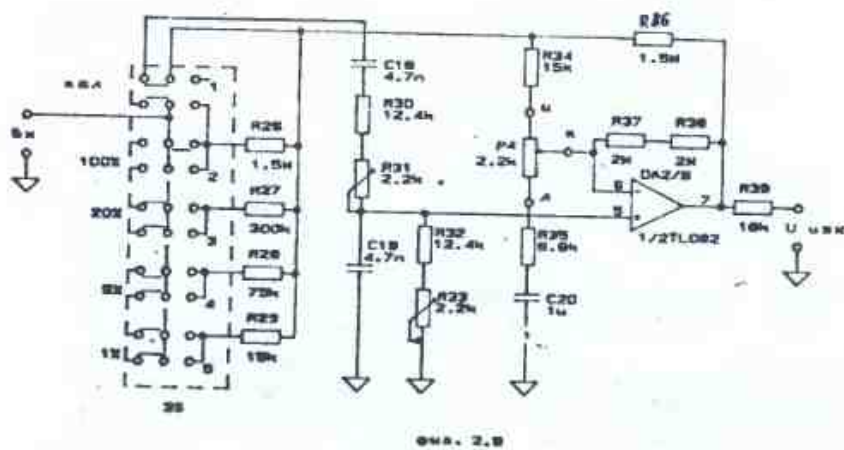
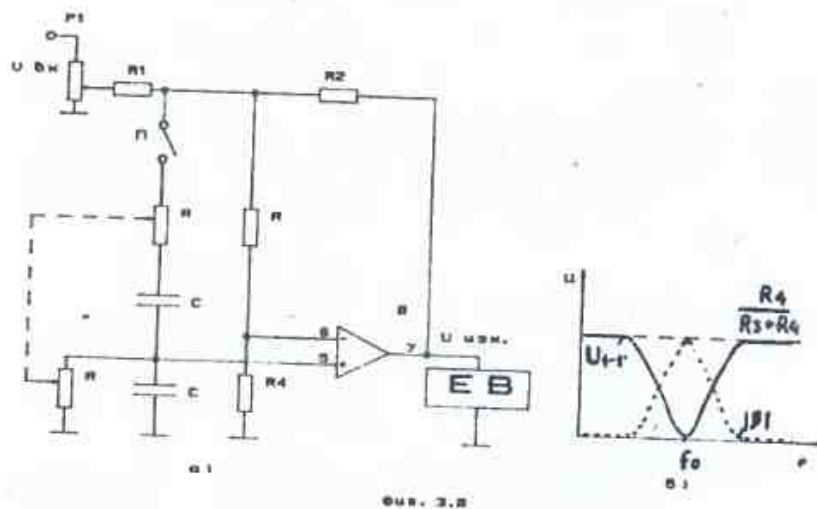
Кофициентът на нелинейни изкривявания дава количествена оценка за отклонението на формата на периодичното колебание от хармоничното. Определя се с израза:

$$(3.6) \quad K_f = \sqrt{\frac{u_1^2 + u_2^2 + \dots + u_n^2}{u_1^2 + u_2^2 + \dots + u_n^2}}$$

Където u_1, u_2, \dots, u_n са ефективни стойности на съответните хармонични съставки на сигнала.

Определянето на клирфактора в съответствие с (3.6) показва, че същия може да се намери експериментално чрез измерване на ефективните стойности на напрежението без и с основния хармоник, след което да се изчисли тяхното отношение. Реализацията на всички тези действия могат да се осъществят с помош на схемата от фиг. 3.8 в следната последователност.

- 1.) Изключва се превключвателя П. В този случай схемата от фиг. 3.8а работи като инвертиращ усилвател за всички хармонични



съставки на изследвания сигнал. Коefficientът на усилване е:

(3.7)

$$K_u = \frac{U_{измн}}{U_{ах}} = \frac{R_2 + R_1}{R_1}$$

Посредством потенциометъра R_1 се установява максимално показание на стрелката по скалата на електронния волтметър. Това показание съответствува на 100% клирфактор.

2.) Включва се превключвателя P , при което схемата се трансформира в рехекторен филтър – фиг. 3.8б. С помошта на свързания потенциометър R се настройва честотата на рехекция. Така че да се получи максимално показание върху скалата на волтметъра. В измереното по този начин напрежение липсва основния гармоник или съгласно (3.6) показанието съответствува на стойността на клирфактора в проценти спрямо цялата скала.

Принципната електрическа схема на рехекторния филтър е показвана на фиг. 3.9. Режим "изключен филтър" се осъществява, като се натисне бутон "кал" (калибровка) на превключвателя 3S. Режим "включен филтър" се осъществява, като се натисне някой от останалите бутона (100%, 20%, 5% или 1%) на превключвателя 3S. При натискане на бутон "100%" усилването в схемата за висшите гармоники е 1 и цялата скала на волтметъра съответствува на 100% коefficient на нелинейни изкривявания. При натиснат бутон "20%" усилването на схемата се увеличава 5 пъти и цялата скала на волтметъра съответствува на клирфактор 20% и т.н.

5. Контролни въпроси.

- 1.) Обяснете принципа на действие на RC-генератор.
- 2.) Изведете израза $f_0 = 1/(2\pi R C)$ на генерираната честота!
- 3.) Кои са причините за нестабилността на изходната амплитуда при регулиране на честотата на RC-генератора? Какви схемотехнични мерки се предприемат за намаляване на тази нестабилност?
- 4.) Обясните принципа на стабилизация на изходната амплитуда на RC-генератора, използвайки регулируемо съпротивление, включено във веригата на отрицателната обратна връзка.
- 5.) Обясните начина на измерване на коefficientа на нелинейни изкривявания, с помошта на рехекторен филтър и електронен волтметър.

IV. ИСПЕДВАНЕ НА ФУНКЦИОНАЛНИ ГЕНЕРАТОРИ

1. Цел на упражнението.

Целта на лабораторното упражнение е да затвърди теоретичните знания на студентите, относно принципите за генериране на сигнали с различна форма. В процеса на работа те придобиват практически навици и умения да работят с функционални генератори, както и да изследват техните характеристики и параметри.

2. Техническа окомплектовка.

За провеждане на лабораторното занятие е необходима следната опартура и допълнителни съоръжения.

2.1. Лабораторен макет "Функционален генератор ФГ-01", характеризиращ се със следните технически характеристики.

1.) Форма на генерираните сигнали: синусоидална, правоъгъльна и триъгъльна, получавана в 3 независими един от друг изходи. Отделен изход за правоъгълно напрежение с TTL ниво.

2.) Честота на генерираните сигнали и точност на задаване:

0.01Hz – 9.99Hz $\pm 1.5\%$ от края на обхвата;

1Hz – 999 Hz $\pm 1.5\%$ от края на обхвата;

100Hz – 99.9kHz $\pm 3\%$ от края на обхвата.

3.) Модулиране честотата на генерираните сигнали от 0 до $2f$ с външно напрежение $\pm 1V$ (f е зададената честота).

4.) Регулиране на изходното ниво в обхвати и точност:

0V – 0.1V $\pm 5\%$ от зададената стойност;

0V – 1V $\pm 5\%$ от зададената стойност.

5.) Коефициент на нелинейни искривявания за синусоидален сигнал $\leq 2.5\%$.

6.) Изходно съпротивление $50\Omega \pm 5\%$.

7.) Максимален ток на изхода 5mA.

2.2. Шифров честотомер ($\Delta f \pm 10MHz$, основна грешка $\pm 0.001\%$).

2.3. Двуканален осцилоскоп ($\Delta f \pm 10MHz$).

2.4. Шифров волтметър ($2 3 1/2$ цифри).

2.5. Источник на регулируено постоянно напрежение ($0 - 2V$).

2.6. Резистор $50\Omega \pm 1\%$.

3. Задачи за изпитвания.

3.1. Да се разучат параметрите, устройството и принципа на действие на функционален генератор, описан в точка 4.1!

3.2. Да се изчислят максималните и минималните честоти на генерация за трите подобхвата!

Честотата на генерираните колебания се изчисляват по формула (4.5), като стойностите на елементите влизани в нея се намират от принципната електрическа схема на фиг. 4.8. Управляващото напрежение U_y се изчислява по формулата $U_y = U_{y1} \cdot R/R_0$ ($U_{y1} = IV$).

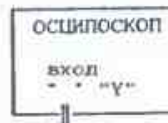
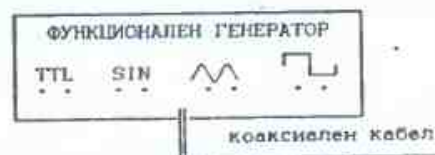
Стойността на праговото напрежение U_{thr} , при което се преобръща състоянието на компаратора се определя по формула (4.4), като се знае че $U_{co} = 7V$, $R_k1 = 7.15k\Omega$ и $R_k2 = 10k\Omega$. Получените резултати се нанасят в табл. 4.1.

Таблица 4.1.

Обхват	R_o min	R_o max	f_{min}	f_{max}	δ_{min}	δ_{max}
0.01 – 9.99 Hz						
1 – 999 Hz						
0.1 – 99.9 kHz						

3.3. Да се провери формата на генерираните сигнали от функционалния генератор ФГ-1!

Проверката се съществува с помош на електронно пъчев осцилоскоп по схема на опитната постановка показана на фиг. 4.1.



фиг. 4.1

За целта трите изхода на функционалния генератор се включват последователно към "Y" входа на електронно пъчев осцилоскоп. За всяко включване се наблюдава формата на генерираното напрежение и се отразява в изпитателния протокол. Отразяването формата на генерираните напрежения да се извърши в единна координатна система при съобразяване на взаимната им синхронизация.

"TTL" изхода на функционалния генератор се проверява при честота $f = 1\text{kHz}$. От екрана на осцилоскопа се отчита периода и амплитудата на генерираните импулси.

3.4. Да се провери точността на задаване честотата на генерираните сигнали от функционалния генератор ФГ-1!

Проверката се осъществява с помощта на цифров частотометър, който се свързва към "SIN" изхода на функционалния генератор, както е показано на фиг. 4.2



Фиг. 4.2

Отределят се грешките при задаване на честотата за седем точки от всеки обхват. Залъжително се проверяват максималната и минималната честота за всеки обхват. Получените резултати се нанасят в табл. 4.2.

Таблца 4.2

Обхват		1	2	3	4	5	6	7
$0.01 - 9.99 \text{ Hz}$	$U_{\text{уст}} \text{ (Hz)}$.						
	$U_{\text{изм}} \text{ (Hz)}$							
	$\delta f \text{ (%)}$							
$1 - 999 \text{ Hz}$		-----	-----	-----	-----	-----	-----	-----
$0.1 - 99.9 \text{ kHz}$		-----	-----	-----	-----	-----	-----	-----

3.5. Да се смене модулационната характеристика на функционалния генератор.

Осъществява се схема на опитната постановка съгласно фиг. 4.3. За модулиращо напрежение $U_m = 0 \text{ V}$ се установява генерирана честота $f_0 = 1 \text{ kHz}$. След това се изменя модулиращото напрежение в граници $\pm 1\text{V}$, през стъпка 0.1 V . Смена се модулационната характеристика $f = F(U_m)$. Резултатите от измерванията се нанасят в табл. 4.3. Чертая се графика на модулационната характеристика.



Фиг. 4.3

Таблица 4.3

$U_m \text{ (V)}$	-1	-0.9	-0.1	0	0.1	0.9	1
$f_{\text{изм.}} \text{ (Hz)}$				1000			

3.6. Да се провери нивото на изходните сигнали от функционалния генератор!

Осъществява се схема на опитната постановка съгласно фиг. 4.4 като входът на контролиращия волтметър се свързва към изход "синусoidalен сигнал" на функционалния генератор.



Фиг. 4.4

Установява се честота 1kHz и изходно ниво на функционалния генератор $U_{\text{уст}}=0.1\text{V}$ (краино ляво положение на регулатора). Отчита се показанието на електронния волтметър и се изчислява грешката δU = $F(U_{\text{уст}})$ по формулата

$$(4.1) \quad \delta U = \frac{U_{\text{изм}} - U_{\text{уст}}}{U_{\text{уст}}} \cdot 100. \text{ [%]}$$

По аналогичен начин се проверява и изходно ниво IV .

3.7. Да се определи изходното съпротивление $R_{\text{изх}}$ на функционалния генератор!

Осъществява се схема на опитната постановка съгласно фиг. 4.5.

Определянето на изходното съпротивление на функционалния генератор се осъществява за синусоидална форма и честота $f=2 \text{ kHz}$ (примерно) на изходния сигнал. Извършват се две измервания. При изключен товарен резистор R_t се установява ниво на изходния сигнал $U_1 = 0.1\text{V}$, отчетено от електронния волтметър. Включва се товарния



фиг. 4.5

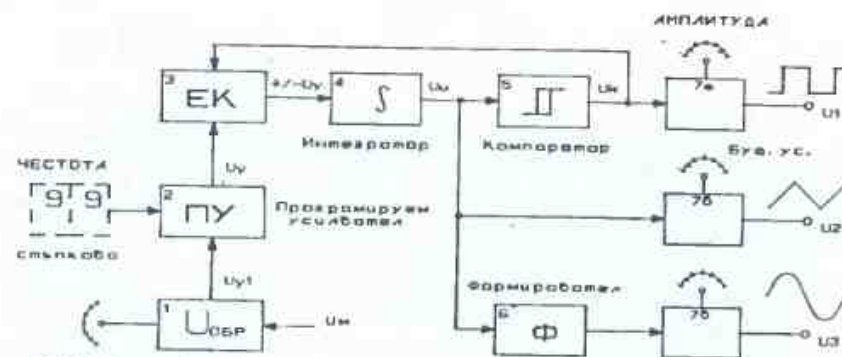
резистор R_f и се отчита втората стойност на изходното напрежение U_2 . Изходното съпротивление на функционалния генератор се изчислява по формулата:

$$(4.2) \quad R_{\text{изх}} = \frac{U_1 - U_2}{U_2} \cdot R_f \cdot [Ω]$$

4. Теоретична част.

4.1. Обща структурна схема на функционалния генератор "ФГ-01"

Структурната схема на функционалния генератор ФГ-01 е показана на фиг. 4.6. Предназначението на отделните блокове е следното:



фиг. 4.6

1 – Известник на задаващо напрежение. Изработва образцово напрежение $U_{\text{обр}}$ и съществува смесването му с външно подадено напрежение U_m за модулиране на честотата;

2 – Програмируем усилвател. Преобразува образцовото напрежение в нормализирано за зададената честота. Управлява се от програмируем превключвател.

3 – Електронен ключ. Преобразува еднополярното изходно напрежение от програмируемия усилвател в двуполярно синхронизирано с поляритета на изходното напрежение на компаратора;

4 – Интегратор. Получава на входа постоянно напрежение с периодично изменящ се поляритет и изработва линейно изменящо се напрежение;

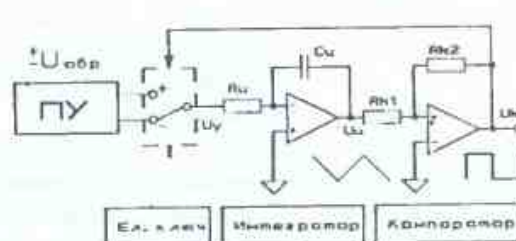
5 – Компаратор с хистерезис. Превключва изходното си състояние в зависимост от състоянието на изхода на интегратора и праговото си ниво;

6 – Форкировател на синусоидално напрежение;

7 – Буферни усилватели. С регулиране на тяхното усилване се изменя нивото на изходните напрежения.

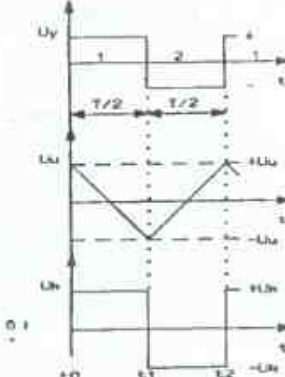
4.2. Структурна схема на генераторната част. Принцип на действие.

Структурната схема на генераторната част на функционалния генератор ФГ-01 е показана на фиг. 4.7 а. Тя се състои от интегратор,



а)

фиг. 4.7



Компаратор с хистерезис, източник на образцово напрежение и електронен ключ. Посредством обратната връзка от изхода на компаратора, електронният ключ превключва към входа на интегратора, за положителен или отрицателен поляритет на управляващото напрежение U_y . Преключването се извършва синхронно с поляритета на изходното напрежение на компаратора. Протичашите процеси в отдавните вериги на схемата са илюстриирани с диаграмите от фиг. 4.7.б.

Действието на схемата е следното.

На входа на интегратора се подава напрежение U_y с постоянна стойност, което изменя поляритета си периодично във времето. Това напрежение в изхода на интегратора се изменя по линеен закон съгласно израза

$$(4.3) \quad U_i = \int_{t_0}^{t_1} \frac{1}{R_i C_i} U_y dt = - \frac{U_y}{R_i C_i} (t_1 - t_0)$$

Изходното напрежение на интегратора е включено към входа на компаратора. Стойността на праговото напрежение U_{pr} , при което се преобъща състоянието на компаратора се определя с израза

$$(4.4) \quad U_{pr} = - \frac{R_{k1}}{R_{k2}} U_{ko}$$

Където: U_{ko} е напрежението на насищане в изхода на компаратора.

Времедиаграмата на генерираните периодични колебания с трионообразна и правоъгълна форма е показана на фиг. 4.7.б. За временния интервал от t_0 до t_1 в изхода на компаратора и във входа на интегратора са установени положителни напрежения. Изходното напрежение на интегратора U_i намалява по линеен закон. Когато достигне праговата стойност на компаратора $-U_{pr}$, последният преобъща състоянието си. U_{ko} придобива отрицателна стойност. За временния интервал от t_1 до t_2 описания процес се развива по аналогичен начин.

Честотата на генерираните колебания се определят с формулата

$$(4.5) \quad f = \frac{1}{4 R_i C_i} \frac{R_{k2}}{R_{k1}} \frac{U_y}{U_{ko}}$$

4.3. Принципна електрическа схема.

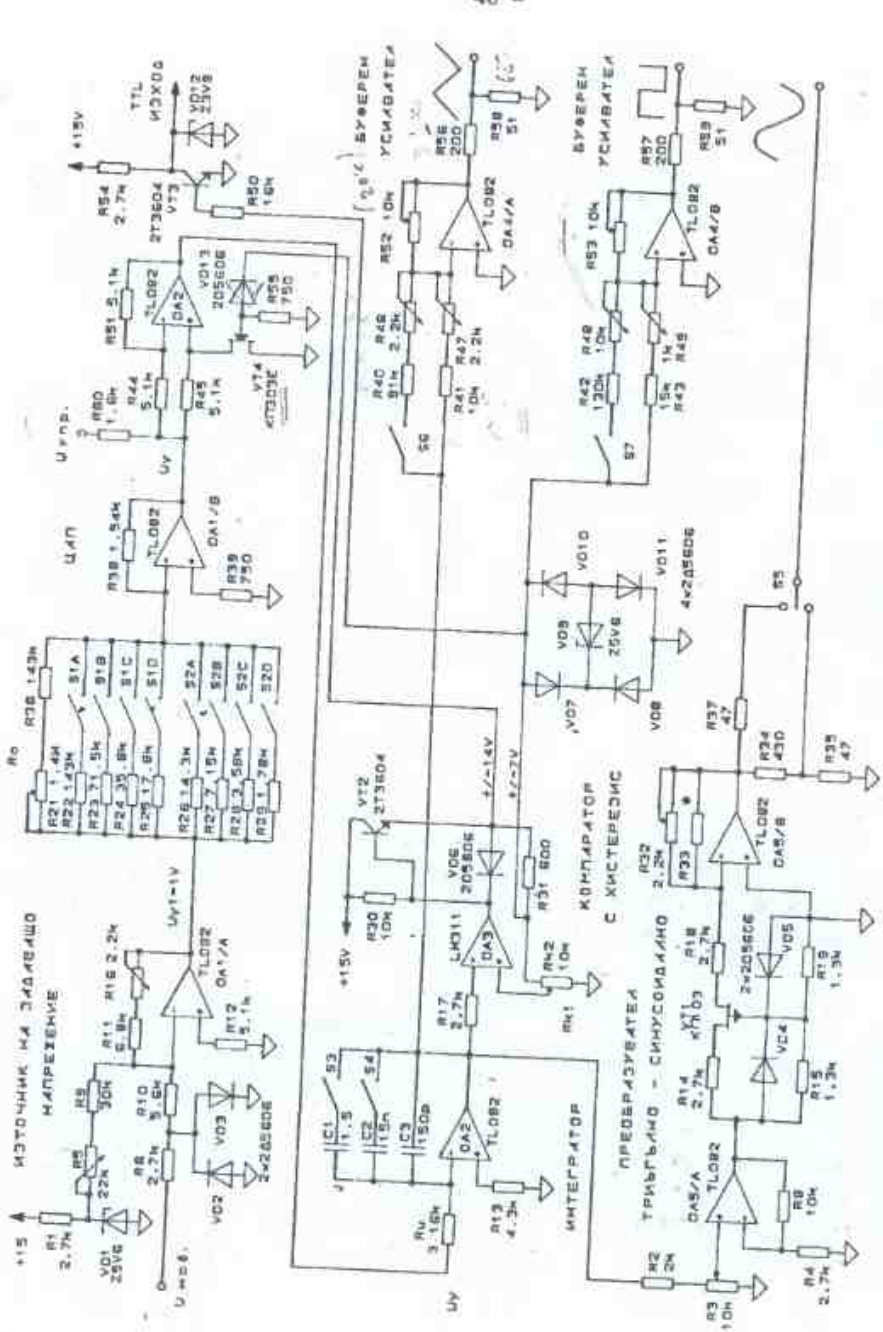
Принципната електрическа схема на функционалния генератор ФГ-01 е показана на фиг. 4.8. Тя е изпълнена в съответствие със структурната схема от фиг. 4.6.

Образцовото напрежение се получава върху цепенния диод VD1. Това напрежение се сумира с модулиращо напрежение U_{mod} от инвертиращ суматор, реализиран с операционен усилвател DA1/A.

Точната стойност на управляващото напрежение U_{y1} се установява посредством потенциометриите R_5 и R_{16} . Напрежението постъпва на входа на програмиран усилвател, реализиран чрез резistorната матрица $R_{22}-R_{25}, R_{26}-R_{29}$ (с тегловни коефициенти 1,2,4,8) и операционен усилвател DA1/B. За съответен набор в резistorната матрица се изработка управляващо напрежение U_y за зададената честота.

Поляритетът на управляващото напрежение се изменя чрез управление режима на работа на усилвателя DA2/A. При отпускан транзистор VT4, схемата работи като инвертиращ усилвател, а при запускан VT4 като инанвертиращ усилвател. Изходното напрежение на тази схема се подава на входа на интегратор, реализиран с операционен усилвател DA2/B, резистора R_7 и кондензаторите C_1, C_2, C_3 . Чрез преключване на последните се получават три частотни обхвати на генератора.

Изходното напрежение на интегратора се подава на компаратор, осъществен с операционен усилвател DA3. За получаване на хистерезисна предавателна характеристика усилвателят е обхванат от положителния обратна връзка чрез резисторите R_{k2} и R_{31} . Стабилността на праговото напрежение се осигурява от двойно резистивната група $R_{31}, VD7 - VD11$. Установяването на необходимата стойност става чрез потенциометъра R_{k2} . От изхода на буферното стъпало (VT2, VD6) на операционния усилвател DA3, през диода VD13 се управлява JFET транзистора VT4 за съклона на поляритета на напрежението, подавано на входа на интегратора. Чрез транзистора VT3 се формират изходни импулси с TTL нива.



Крайните буферни усилватели за правоъгълно и триъгълно напрежение са реализирани с операционни усилватели DA4/A и DA4/B. Преключвателите S6 и S7 се сменя обхватът на изходните напрежения (0.1V и 1V), а чрез потенциометрите R52 и R53 се регулират плавно изходните амплитуди.

Каналът за формиране на синусоидално по форма напрежение се състои от усилвателите DA5/A, DA5/B и транзистора VT1. Посредством резистора R3 се настройва амплитудата на триъгълното напрежение постъпващо на входа на преобразувателя от триъгълна в синусоидална форма. За преобразуване на напрежението с триъгълна форма в синусоидална се използва квадратичния участък на началната област от характеристиката $I_d = F(U_d)$ на полевия транзистор VT1.

5. Контролни въпроси.

- 1.) Обяснете принципа на действие на генериращата схема на функционалния генератор ФГ-01!
- 2.) Обяснете принципа на преобразуване на трионообразно напрежение в синусоидално напрежение!
- 3.) Изведете израза за генерираната честота на функционалния генератор!
- 4.) Как влияе праговото напрежение U_{tr} върху генерираната честота?
- 5.) Начертайте опитните постановки за проверка на следните параметри на функционалния генератор: грешка в задаване на честотата, модулация на честотата, амплитуда на изходните сигнали, изходно съпротивление!

V. АНАЛОГОВО ИЗМЕРВАНЕ НА НАПРЕЖЕНИЕ

1. Цел на лабораторното упражнение.

Целта на упражнението е да затвърди теоретичните познания на студентите в областта на аналоговата техника за измерване на постоянни и променливи напрежения. Едновременно с това студентите придобиват практически умения да работят и изследват съответната измервателна апаратура.

2. Техническа окомплектовка.

За провеждане на лабораторното упражнение е необходима слепната апаратура и допълнителни съоръжения:

2.1. Аналогов волтметър AB-1, с техническа характеристика при измерване на постоянни и променливи напрежения, дадена в таблица 5.1. Таблица

режим	обхвати	основна грешка
постоянно напрежение	10mV; 50mV; 100mV; 500mV 1V; 5V; 10V; 50V; 100V; 500V;	± 2 % от FS(*)
променливо напрежение	1mV; 5mV; 10mV; 50mV; 100mV; 500mV; 1V; 5V; 10V; 50V; 100V; 500V;	± 1 % от FS + 0,5% U _k (**)

(*) FS – краяна стойност на обхвата;

(**) U_k – измерена стойност.

2.2. Източник на постоянно напрежение с регулирано напрежение в граници 0 – 0.1V и 0 – 1V.

2.3. Генератор на синусоидални електрически сигнали (100 Hz – 10 kHz; 100 mV – 3 V_{pp}).

2.4. Цифров волтметър с разрядност $\geq 3 \frac{1}{2}$ цифри и обхвати от 0 – 200 V $\pm 0.2\%$.

3. Задачи за изпитвания

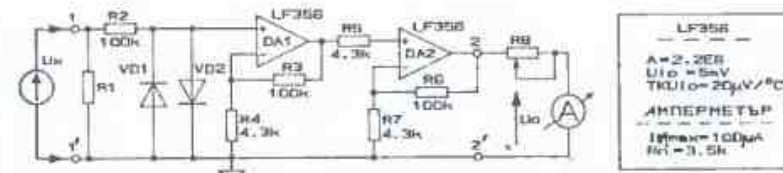
3.1. Да се разучат устройството и принципът на действие на аналогов волтметър AB-1.

3.2. За схемата от фиг. 5.1 да се определи:

1.) Стойността на съпротивлението R_B, при която за U_x = 10mV приложено на входа 1-1' се получава крайно отклонение на стрелката на измервателната система.

2.) Абсолютната и относителна стойност на грешката причинена от входното напрежение на несиметрия U₁₀ на операционните усилватели при U_x = 1mV и 10mV.

3.) Допълнителната грешка (абсолютна и относителна) в температурния интервал от 5°C до 45°C, при U_x = 1mV и 10mV.



Фиг. 5.1

3.3. Да се изследва точността на аналогов волтметър AB-1 при измерване на постоянно напрежение.

Изследването се извършва за избран измервателен обхват (например 1 V). Схемата на опитната постановка е показвана на фиг. 5.2.



Фиг. 5.2

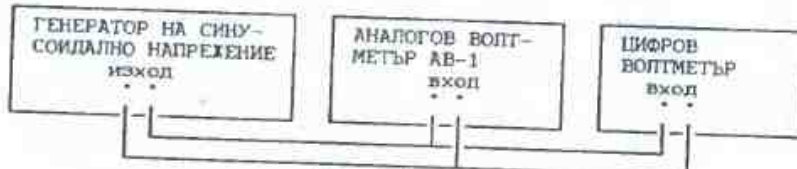
Установява се аналоговия волтметър AB-1 в режим измерване на постоянно напрежение. За десет точки разномерно разположени в обхвата се задават съответни стойности на напрежение. Отчетените стойности от цифровия волтметър U₁₀ се приемат за образцови. Получените резултати се нанасят в табл. 5.2.

Таблица 5.2

N	1	2	3	4	5	6	7	8	9	10
U _{вх} , (V)										
U _{изл} , (V)										
A ^U =U _{изл} -U _{вх} , (V)										
бι=-(A ^U /U _{вх}).100 %										

3.3. Да се изследва точността на аналогов волтметър АВ-1 при измерване на променливо напрежение.

Осъществява се схема на опитната постановка, показана на фиг. 5.3.



Фиг. 5.3

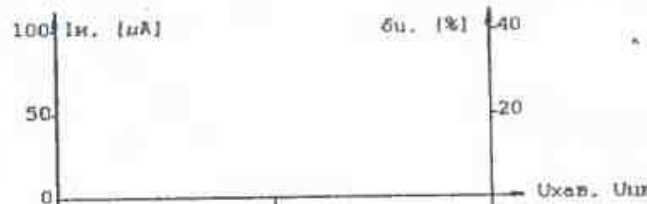
Установява се АВ-1 в режим на измерване на променливо напрежение. Последователността на изследване е като в точка 3.2.

3.4. Да се снеме реалната предавателна характеристика $I_{in}-f(U_x)$ за пасивен детектор в аналоговия волтметър АВ-1.

Аналоговия волтметър се превключва в режим на работа „пасивен детектор“, като се натисне бутон „Д“. Задава се синусоидално напрежение с честота $f=1\text{kHz}$ и нива U_x за получаване на отклонения на стрелковата система указанi в табл. 5.3. Стойностите за входното напрежение се отчита с електронен волтметър – $U_{вх}$. Стойностите за $U_{изл}$ се изчисляват по формулата от фиг. 5.6, за идеален лод. Резултатите се нанасят в таблица 5.3. Изчислява се грешката бι за залелните точки от обхвата.

3.5. Да се снеме реалната предавателна характеристика $I_{in}-f(U_x)$ за активен детектор в аналоговия волтметър АВ-1. Включва се активният детектор посредством натискане на бутон „АД“. Изследването се извършва по методиката от точка 3.4.

3.6. Да се построят в обща координатна система реалните предавателни характеристики на активен и пасивен детектор и идеалната (при идеален лод) предавателна характеристика както и относителната грешка $\text{бι} = f(U_{вх})$ (фиг. 5.4).



Фиг. 5.4

Таблица 5.3

I _{in} , (mA)	0	5	10	20	40	60	80	100
U _{вх} , (V)								
U _{изл} , (V)								
бι=(U _{изл} -U _{вх})/U _{вх} [%]								

Сравняват се резултатите, получени за пасивен, активен и идеален детектор.

3.7. Да се снеме АЧХ и определи честотната грешка бιf на аналогов волтметър АВ-1.

Изследването се извършва за произволно избран обхват.

Установява се АВ-1 в режим на измерване на променливо напрежение.

Осъществява се схема на опитната постановка съгласно фиг. 5.3. Подава се синусоидално напрежение с честота 1kHz и нива U_x от зададения обхват. Поддържа се амплитудата на входния сигнал и се изменя неговата честота. За стойностите на честотата f дадена в таблица 5.4, се отчитат показанията на АВ-1 и цифровия волтметър. Получените резултати се нанасят в таблица 5.4.

Таблица 5.4

$f, [\text{kHz}]$	0,02	0,04	0,08	0,10	0,20	1	10	20	40	80	100
$U_{\text{line}}, [\text{V}]$											
$U_{\text{av}}, [\text{V}]$											
$\text{биф.} [\%]$											

3.8. Да се снеме АЧХ на активен и пасивен детектор в аналогов волтметър АВ-1.

Снемането на АЧХ на активен и пасивен детектор се извършва по методиката описана в точка 3.7.

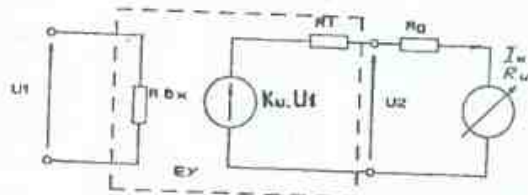
4. Теоретична част.

В аналоговите измервателни уреди за визуализация на резултатите на широко приложение са намерили стрелковите системи от магнитоелектричен тип. Характерни за тях са равномерност - на скалата и ъгъл на отклонение, пропорционален на средната стойност на тока проптичащ през системата.

Основните им параметри са:

- I_{max} - ток за краино отклонение на стрелката;
- R_i - вътрешно съпротивление на измервателната система;
- $U_{\text{line}} = I_{\text{max}} \cdot R_i$ - напрежение за краино отклонение на стрелката.

За намаляване консумацията от измервателната верига се използва съчетаване на електронен усилвател и стрелкова система - фиг. 5.5.



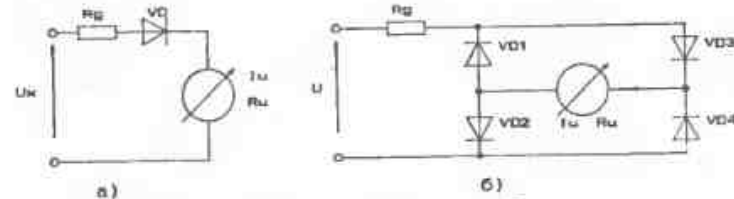
фиг. 5.5

Входното напрежение за максимално показване на стрелковата система е:

$$U_1 = \frac{(R_i + R_g + R_u) \cdot I_{\text{max}}}{K_U}$$

При измерване на променливо напрежение последното се преобразува в постоянно посредством детектори. Най-распространени са детекторите на средна стойност, при които изходното постоянно напрежение е пропорционално на средната стойност на измерваното напрежение.

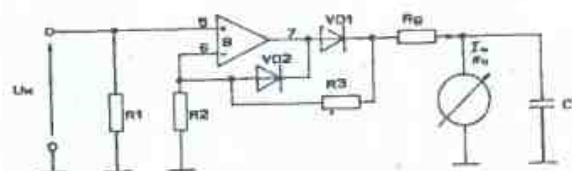
На фиг. 5.6 са показани най-често използвани схеми на единополупериодни и двуполупериодни детектори.



$$U_{\text{max.eff}} = \frac{\pi}{4} \cdot I_{\text{max}} \cdot (R_g + R_u) \quad U_{\text{max.eff}} = \frac{\pi}{2\sqrt{2}} \cdot I_{\text{max}} \cdot (R_g + R_u)$$

фиг. 5.6

За повишаване на чувствителността детекторната част се включва в схема на електронен усилвател обхванат от дълбока отрицателна обратна връзка (фиг. 5.7), а за намаляване на пулсациите, паралелно на стрелковата система се включва филтриращ кондензатор.



фиг. 5.7

$$U_{\text{max.eff}} = \frac{R_2}{(R_2 + R_3)} \cdot \frac{\pi}{2\sqrt{2}} \cdot I_{\text{max}} \cdot (R_g + R_u)$$

Електронните волтметри се характеризират с основна и допълнителна грешка:

-Основната грешка се определя при нормални условия на околната среда. Источници на основната грешка са изместване на нула на стрелковата система и усилвателя, грешка от неточна калибровка, неточност на усилвателя, промяна на параметри от стареене на елементи и др.

-Допълнителната грешка се определя при изменение на околните условия на работа – температура, влажност, захранващо напрежение и др.

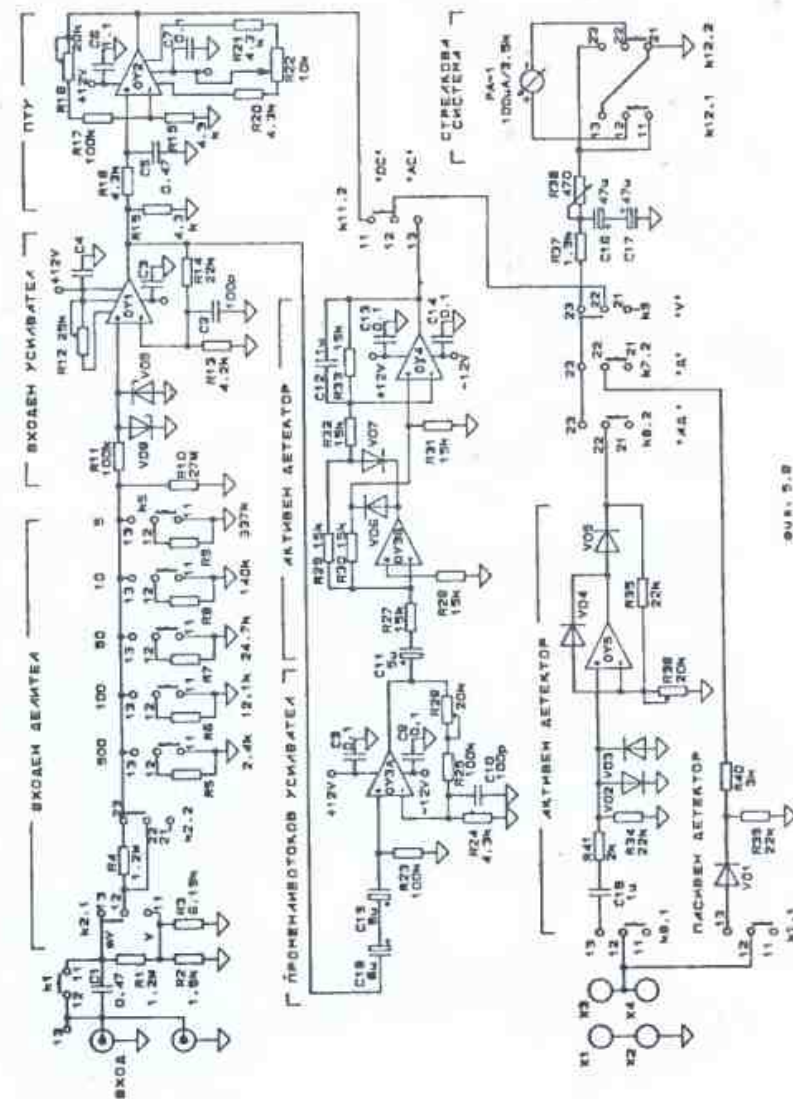
Принципна електрическа схема на аналогов волтметър AB-01.

Принципната електрическа схема на AB-01 е показвана на фиг. 5.8. В нея се отличават като обособени структури, комбиниран волтметър за измерване на променливо и постоянно напрежение, схема на активен детектор и схема на пасивен детектор. Стрелковата система PA-1 обслужва и трите части на схемата, чрез подхвълящото и включване към тяхните изходи. Двата коаксиални входа, включени в паралел са входове на комбинираният волтметър. Входовете на активния и пасивния детектор са също два, включени в паралел, но са изпълнени с входни букси за кабели с штекерни накрайници.

Схема на комбиниран волтметър.

Последователно във входната верига на схемата е включен разделителен кондензатор C1. Когато, чрез бутон разположен върху лицевия панел на уреда се избере режим на работа |-|, този кондензатор се закъсява. Входни делител R1 и R2 || R3 да се обезпечава затихване 1000 пъти. Така измервателните обхвати се разделят на две групи – волтови и миниволтови. За всяка група, чрез делители R4 – R5, R6, R7, R8, Ra, R10 се получават подобхвати 1 mV (5 mV за постоянно напрежение), 5 mV; 10 mV; 50 mV; 100 mV; 500 mV; 1V и т.н. Входът на първото усилвателно стъпало реализирано с оперативен усилвател LF356 е заштитен от пренапрежения с резисторно-диодна група R11, VD8 и VD9. Това предусилвателно стъпало усилва както променливо, така и постоянно напрежение.

Нормализирането на сигнала за измерване на постоянно напрежение се извършва от ОУ2. При измерване на променливо напрежение нормализирането на сигнала става с ОУ3А, а детектирането – с активния детектор изграден с ОУ3В и ОУ4.



Нулирането при постояннотокови измервания се осъществява за нап-чувствителния измервателен обхват, чрез регулатор "нулиране", изведен на лицевия панел на уреда.

Калибровката на уреда се осъществява, чрез регулатор "кали-брюк" като на входа на волтметъра се подава променливо напреже-ние с 1V ефективна стойност.

Пасивен детектор и активен детектор.

Чрез бутон "Д" се избира работа с "пасивен детектор". Пасивният детектор е реализиран с диод VD1 и R39. Нискочестотен филтър реализиран с групата R40, R37, C16 и C17, филтрира пулсациите и предотвратява колебание на показанието при измерване на ниски честоти.

Единополупериодник активен детектор е реализиран с операци-онния усилвател ОУ5, VD6 и VD7. Чрез бутон "АД" разположен на лицевия панел на уреда, напрежение подадено на входните букси се превключва към входа на активния детектор.

5. Контролови въпроси

5.1. Начертайте схема на постояннотоков волтметър с опера-ционен усилвател!

5.2. Начертайте схема на активен детектор. Обяснете действието му и иззелете израза за предавателната му характеристика!

5.3. Може ли по експериментален път да се определи адитивната и мултипликативната грешка на аналогия волтметър! Ако може опишете как!

5.4. Начертайте схема на опитната постановка за снемане на амплитудно-честотна характеристика на волтметри! Определете изискванията към допълнителната измервателна апаратура! Опишете процедурите при тяхното снемане!

VI. Цифрови мултиметри.

1. Цел на упражнението.

Целта на упражнението е да се запознаят студентите с устройството и принципа на действие на цифрови мултиметри. Извършвани предвидените измервателни операции и изследвания студентите се запознават с техническите параметри на тези уреди и с особеностите при тяхното използване.

2. Техническа сконфлектовка.

За провеждане на лабораторийното занятие е необходима следната апаратура и допълнителни съоражения.

2.1. Цифров мултиметър M103-1

Цифровият мултиметър M103-1 измерва постоянни и променливи на-прежения и ток, както и съпротивления. Цифровата индикация е с разрядност 3 1/2 цифри. Характеризира се със следните технически показатели.

2.1.1. Обхвати и точност при измерване на постоянно и промен-ливо напрежение – табл.6.1.

Таблица 6.1.

№	Обхват	Разрешение	Грешка-постоянно $U \pm (\% \text{ от } U_{x+m-\text{емр}})$	Грешка-променливо $U \pm (\% \text{ от } U_{x+m-\text{емр}})$
1.	199.9 mV	0.1 mV	0.5% + 2	
2.	1.999 V	1 mV	0.8% + 2	
3.	19.99 V	10 mV	0.8% + 2	
4.	199.9 V	100 mV	0.8% + 2	
5.	500 V	1 V	0.8% + 2	1 % + 2

* Всички грешки се дават, чрез мултипликативната съставка $A \% \text{ от измерена стойност } U_x \text{ и адитивна съставка} - \text{ брои единици от най-младшия разред} - m-\text{емр}.$

2.1.2. Обхвати и точност при измерване на постоянно и промен-лияв ток – табл.6.2.

Таблица 6.2.

№	Обхват	Разрешение	Грешка $\pm (\% \text{ от } I_{x+m-\text{емр}})$
1.	199.9 μA	0.1 μA	
2.	1.999 mA	1 mA	
3.	19.99 mA	10 μA	
4.	199.9 mA	0.1 mA	
5.	1.999 A	1 mA	1 % + 2

2.1.3. Обхвати и точност при измерване на съпротивление – табл. 6.3.

Таблица 6.3.

#	Обхват	Разрешение	Грешка ±(%) от $I_x + m_{-бгр}$
1.	199.9 Ω	0.1 Ω	
2.	1.999 kΩ	1 Ω	
3.	19.99 kΩ	10 Ω	
4.	199.9 kΩ	100 Ω	
5.	1.999 MΩ	1 kΩ	

2.1.4. Входно съпротивление при измерване на напрежение – $10 \text{ MΩ} \pm 5\%$.

2.1.5. Честотна лента при измерване на променлив ток и напрежение 20Hz – 20 kHz.

2.1.6. Пол на напрежение на входа на уреда при измерване на съпротивление $\leq 200 \text{ mV}$ за края на всеки обхват.

2.2. Прецизен волтметър за постоянно и променливо напрежение с основна грешка $\leq 0.1\%$ и честотна лента 10 Hz – 100 kHz.

2.3. Генератор на синусоидални сигнали ($f_{min} \leq 10 \text{ Hz}$, $f_{max} \geq 100 \text{ kHz}$).

2.4. Регулируем източник на стабилизирано напрежение 0 – 10V, $\pm 0.1\%$.

3. Задачи за изпълнение.

3.1. Да се разучат принципът на действие и схемата на цифров мултиметър M103-1 описан в точка 4.

3.2. Да се изчисли грешката внесена от входното съпротивление на мултиметра при измерване на напрежение от източник с вътрешно съпротивление $R_i = 100 \text{ kΩ}$.

3.3. Да се изчисли грешката, внесена от собственото съпротивление на мултиметъра при измерване на постоянен ток $I_x = 100 \text{ mA}$, ако съпротивлението в измервателния контур е $R_i = 250 \text{ Ω}$.

3.4. Да се провери точността на мултиметра при измерване на постоянно напрежение.

Осъществява се схема на опитната постановка съгласно фиг. 6.1.



фиг. 6.1

За определен измервателен обхват (наприимер 200mV) се задават последовательно постоянни напрежения за б – 10 точки от обхватта. За всяка точка се отчита от прецизен волтметър "точната стойност" Ует на поладено напрежение. Получените резултати се нанасят в таблица 6.4.

Таблица 6.4

Ует. [mV]						
Иизм. [mV]						
Иизм – Ует						
$b = \frac{\text{Иизм} - \text{Ует}}{\text{Ует}} \cdot 100, [\%]$						
блоп*, [%]						
ДА/НЕ						

* блоп. се изчислява за всяка точка като се считат нормите за адитивната и мултипликативната грешка дадени в табл. 6.1.

Аналогична проверка се извършва и за останалите измервателни обхвати.

3.5. Да се провери точността на мултиметра при измерване на променливи напрежения.

Осъществява се схема на опитната постановка показана на фиг. 6.2.



фиг. 6.2

Проверката на точността на мултиметра при измерване на променливи напрежения се извършва по съдия начин, както в точка 3.4

3.6. Да се изследва честотната грешка на мултиметра при измерване на променливи напрежения.

Честотната гешка на мултиметра се извършва по схема на опитната постановка от фиг. 6.2 в следната последователност:

1.) Установява се изследвания мултиметър M103 в режим измерване на променливо напрежение.

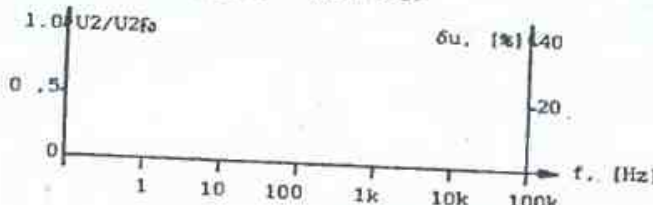
2.) Задава се от генератора синусоидален сигнал с частота $f_0 = 1\text{kHz}$, и ниво $U_1 = 1\text{V}$, отчетено от прецизен волтметър. Прави се отчет за нивото на сигнала U_{2f_0} от индикацията на изследвания мултиметър M103.

3.) Изменя се честотата на сигнала, като се поддържа неизменна амплитудата му ($U_g = U_1 = 1\text{V}$) и се отчитат съответните показания U_2 от изследвания мултиметър. Изчислява се попълнителната грешка от честотни искривявания δf . Получените резултати се нанасят в таблица 6.5.

Таблица 6.5

$f, [\text{Hz}]$	1	10	100	1 k	10 k	100 k
$U_2, [\text{V}]$						
$\delta f, [\%]$						

Построяват се графиките на АЧХ на M103 и графиката δf като функция на честотата f – фиг. 6.3.



фиг. 6.3

3.7. Да се провери точността на мултиметра при измерване на съпротивления.

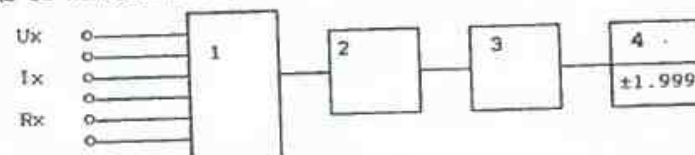
Измерват се прецизни резистори, чиято нормирана стойност се приема за образцова – R_{et} . Грешката се формира от разликата на тази стойност спрямо измерената.

$$(6.1) \quad \delta R = \frac{R_{izm} - R_{et}}{R_{et}} \cdot 100, [\%].$$

Измерванията се провеждат за 7 точки от избран измервателен обхват и за една точка от останалите обхвати. Резултатите се отразяват в таблица (аналогична на таблица 6.4).

4. Теоретична част

4.1. Обобщена структурна схема на цифров мултиметър M103
Обобщената структурна схема на цифров мултиметър M103 е показана на фиг. 6.4. Цифровият мултиметър има три самостоятелни входа за измерване: U_x , I_x и R_x .

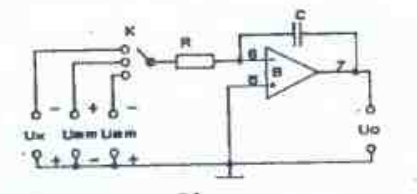


фиг. 6.4

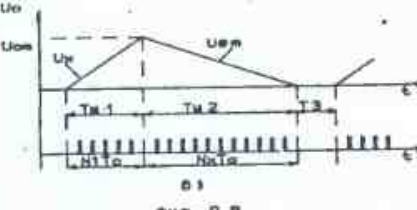
В схемата са включени:

- 1.) преобразувателен блок;
- 2.) усилвателен блок;
- 3.) аналого-цифров преобразувател;
- 4.) блок за цифрова индикация.

В цифровия мултиметър се използва специализирана интегрална схема ICL 7106. Една от заложените функции в тази схема е аналого-цифрово преобразуване, осъществено по метода на двутактното интегриране. Принципът на преобразуване е илюстриран на фиг. 6.5.



б. 1



б. 2

В първия такт към входа на интегратора се подава измерваното постоянно напрежение U_x , което в случая е прието с отрицателна полярност. Величини са вързаните:

$$(6.2) \quad U_o = \frac{U_x}{RC} \cdot t; \quad \frac{dU_o}{dt} = -\frac{U_x}{RC}, \quad (\text{V/s}).$$

$$(6.3) \quad U_{om} = \frac{|U_x|}{RC} \cdot T_{n1} = \frac{|U_x|}{RC} \cdot N_1 \cdot T_0, [V].$$

$$T_{n1} = N_1 \cdot T_0$$

Във втория тakt към входа на интегратора се превключва образцова стойност на напрежение – U_{et} с поляритет, обратен на поляритета на измерваното напрежение U_x .

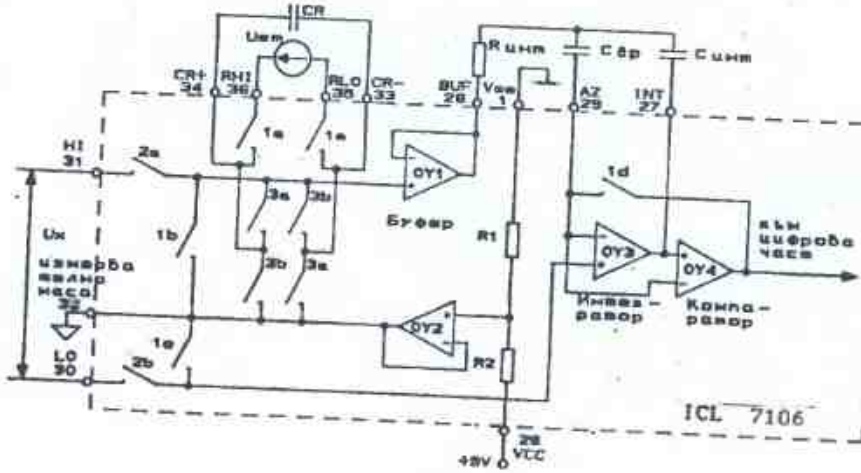
Кондензаторът се разрежда и когато напрежението в изхода достигне нула, се преустановява процеса. През този тakt броячът в IC ICL 7106 преброява N_x импулса. Временният интервал е $T_{n2} = N_x \cdot T_0$ и за напрежението U_{om} може да се напише:

$$(6.4) \quad U_{om} = \frac{U_{et}}{RC} \cdot T_{n2} = \frac{U_{et}}{RC} \cdot N_x \cdot T_0, [V].$$

Като се приравнят изрази (6.3) и (6.4) се получава функцията на аналогово-цифровото преобразуване.

$$(6.5) \quad U_x = U_{et} \frac{N_x}{N_1}, [V].$$

Опростената структура на аналоговата част схемата ICL 7106 е представена на фигура 6.6. Аналогово-цифровото преобразуване се извършва в три фази. В първата фаза се компенсира входното напрежение на несиметрия на аналоговата част на АШ и се запомня стойността на еталонното напрежение U_{et} . За тази цел електронните ключове 1a, 1b, 1c и 1d се включват, а всички останали са изключени.



Фиг. 6.6

При така образуваната конфигурация кондензаторът CR се зарежда до стойността на U_{et} през електронните ключове 1a. Компенсацията на входното напрежение се извършва чрез еквивалентно външно закъсяване входа на АШ посредством 1b и 1c. Сумарното действие на входните напрежения на несиметрия на буфера OY1, интегратора OY3 и компаратора OY4 се запомня, като компенсира напрежение върху Ср. Зареждането на Ср става през изходите на буфера OY1, компаратора OY4 и през резистора Rint. Втората фаза е първия тakt от двутактното интегриране. Прекъсват се всички вериги използвани в първата фаза и се затварят електронните ключове 2a и 2b. Входното напрежение, приложено между входовете "HI" и "LO" се подава диференциално спрямо измервателната маса като измервателната част на схемата. Напрежението от изхода на буферния усилвател OY1 се интегрира, като стойността му се сумира със запомнената в Ср. В края на втората фаза се изключват ключове 2a, 2b и се включва 1c.

Анализира се изходното състояние на компаратора и чрез ключове 3a или 3b, напрежението до което е зареден кондензатора С се подава с обратна полярност спрямо входното измервано напрежение. Това е началото на трета фаза от работата на АШ. Времето, за което изходното напрежение достига до нула е времетраенето на третата фаза или втория тakt на двутактното интегриране.

Получаването на числов еквивалент на резултата от измерването се постига в цифровата част на ICL 7106 чрез измерване на временния интервал на втория тakt на интегриране. Полученият шифров код се запомня в регистър и през дешифратор се подава за инициация. Осигуряването на външна измервателна маса за I·I. "1" изместена на около 2,6 V спрямо цифровата маса се постига в резисторния делител R1, R2 и буферния усилвател OY2.

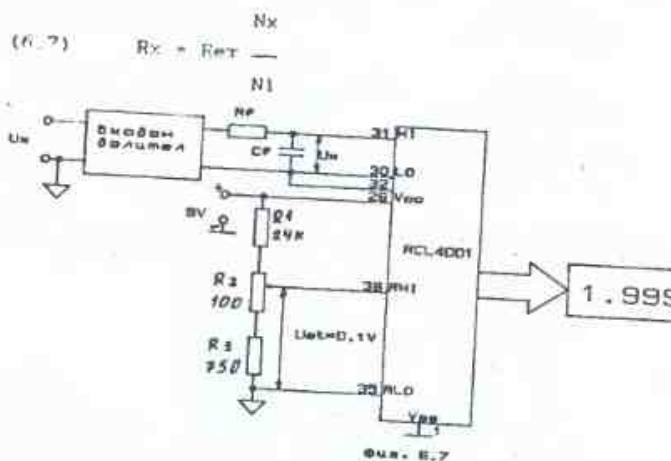
Структурни схеми при измерване на напрежение, ток и съпротивление.

Организация на схемата при измерване на постоянно напрежение е показана на фиг. 6.7. Входният делител нормализира нивото на сигнала постъпващо на входа на АШ при калибровка. Чрез регулиране на напрежението U_{et} се установява показване 100.0 на цифровата индикация, когато се подаде входно напрежение $U_x = 100 \text{ mV}$.

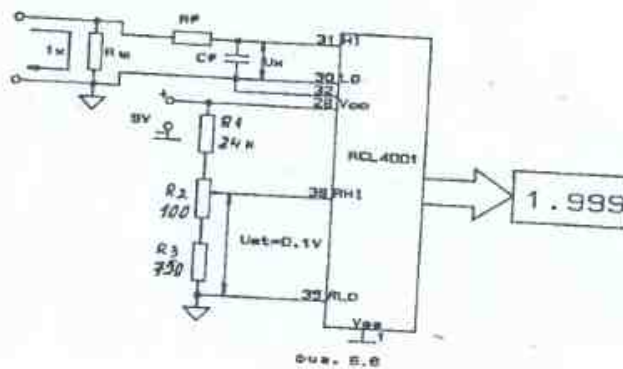
Организацията на схемата при измерване на ток е показвана на фиг. 6.8. Токът се пропуска през шунтови резистори $R_{sh} = R_{et}$ и се преобразува в напрежение: $U_{sh} = R_{sh} \cdot I_x$. Като се има предвид (6.5) за функцията на преобразуване се получава:

$$(6.6) \quad I_x = \frac{U_{et}}{R_{sh}} = \frac{U_{et}}{N_1}$$

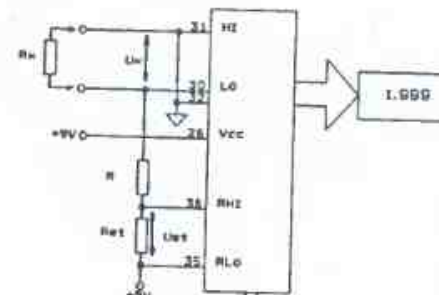
При измерване на съпротивление (фиг. 6.9.) напрежението U_x се подава като входа на интегратора в първия тakt на интегриране, а напрежението U_{et} – във втория тakt. Въз основа на (6.5) се получава функцията на преобразуване на измерваното съпротивление R_x в цифров код.



Фиг. 6.7



Фиг. 6.8



Фиг. 6.9

5. Контролни въпроси.

- 5.1. Обяснете аналогово-цифровото преобразуване, използвашо метода на двутактно интегриране. Изведете израз (6.5)!
- 5.2. Как е приложен този метод в цифровия мултиметър M103-1? На какви фази е разделен измервателния процес?
- 5.3. Какви основни възли притежават цифровите мултиметри?
- 5.4. Начертайте структурна схема на определата постановка за проверка на точността на цифровия мултиметър при измерване на постоянни напрежения! Какви са изискванията към допълнителната измервателна апаратура? Опишете процедурата на проверката!

VII. Аналогово измерване на честота и фазови разлики.

1. Цел на упражнението.

Целта на упражнението е да се запознаят студентите с аналогови методи за измерване на честота и фазови разлики и съответни схемни решения за реализация на тези методи. В процеса на изпитвание на поставените задачи те придобиват знания и практически умения да изследват параметрите на съответната измервателна алатура.

2. Техническа окомплектовка.

За провеждане на упражнението е необходима следната техническа окомплектовка:

2.1. Лабораторен макет "Аналогов честотомер-фазомер ЧФ-1".

Включва в обща конструкция следните функционални блокове: честотомер, фазомер, RC-генератор на синусоидално напрежение и дефазатор.

2.1.1. Аналогов честотомер.

Таблица 7.1. Измервателни обхвати и основни грешки за тях.

N	обхват	грешка $\pm(A\% + a)^*$
1	0 - 100 Hz	1% + 3 Hz
2	0 - 1000 Hz	1% + 30 Hz
3	0 - 10 kHz	1% + 0.3 kHz
4	0 - 100 kHz	1.5% + 3 kHz

* A % - % от измерената стойност;

a - аддитивна съставка на грешката.

- ниво на входния сигнал: 10mV - 5V;

- входно съпротивление: 2.2 MΩ ±5%.

2.1.2. Аналогов фазомер.

Таблица 7.2. Измервателни обхвати.

N	обхват	грешка $\pm(A\% + a)$
1	0 - 20°	1% + 1°
2	0 - 50°	1% + 2°
3	0 - 100°	1% + 5°
4	0 - 200°	1% + 10°

- честотен обхват: 100 Hz - 100 kHz.

- ниво на входния сигнал: 25 mV - 5 V.

- входно съпротивление за канали А и В - 1 MΩ ± 5%.

- изход "TTL" - импулси с продължителност пропорционална на фазовата разлика между двата сигнала.

2.1.3. Генератор на дефазирани сигнали.

- честота на дефазирани сигнали: 100 Hz; 1 kHz и 10 kHz /± 1%/.

- три изхода: основен /sin/: дъгизнителен /cos/ - ъгъл на дефазиране спрямо основния сигнал $90^\circ \pm 2\%$; изход с плавно изменение на фазата $5^\circ - 180^\circ$; ниво на изходните сигнали - $1V \pm 5\%$.

- изходно съпротивление - 20 Ω.

2.2. Електронно-лъчев осцилоскоп - f > 10 MHz, двуканален.

2.3. Електронен волтметър за променливи напрежения

/10 mV - 10 V, f > 100 kHz/

2.4. Цифров честотомер / f > 40 MHz / с възможност за измерване на фазови разлики.

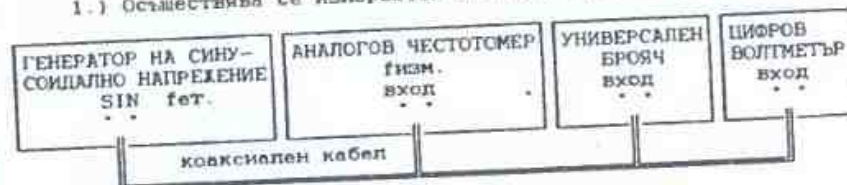
3. Задачи за изпитвания.

3.1. Да се разучат принципа на действие и електрическите схеми на основните функционални блокове в лабораторния макет описани в т. 4.1.

3.2. Да се определи теоретично грешката на предавателната функция за края на обхватите на преобразувателя честота-ток.

3.3. Да се изследва грешката на аналогия честотомер ЧФ-1.

1.1. Оствъществява се измервателната постановка от фиг. 7.1.



Фиг. 7.1

2.1) За произвольно избран честотен обхват на аналогия честотомер (например 10 kHz) се задава от генератора напрежение с ниво 1 V ефективна стойност. Последователно от генератора се задават 10 честоти, така че да се получат показания върху скалата на аналогия честотомер, съответствуващи на зададените в таблица 7.3.

3.) Изчислява се относителната грешка на аналоговия честотомер при измерване на всяка от зададените от генератора честоти. Използува се формулата:

$$(7.1) \delta f = \frac{f_{\text{ет}} - f_{\text{изм.}}}{f_{\text{изм.}}} \cdot 100, (\%)$$

Където: $f_{\text{ет.}}$ са стойностите за честотата, отчетени от цифровия честотомер; $f_{\text{изм.}}$ са стойностите за честотата, отчетени по скалата на аналоговия честотомер;

4.) За всяка измерена честота се изчислява допустимата относителна грешка $\delta f_{\text{доп.}}$. Използуват се данните от Таблица 7.1. и следните формули:

$$(7.2) \Delta f_{\text{доп.}} = \frac{A \%}{100} \cdot f_{\text{изм.}} + f_a [\text{Hz}], \quad \delta f = \frac{\Delta f_{\text{доп.}}}{f_{\text{изм.}}} \cdot 100 (\%).$$

Получените резултати се нанасят в Таблица 7.3. и се анализира, дали грешките в измерванията са в регламентираните граници.

Таблица 7.3

Деления ЧФ-1	10	20	30	40	50	60	70	80	90	100
$f_{\text{изм.}}$, [Hz]										
$f_{\text{ет.}}$, [Hz]										
δf , [%]										
$\delta f_{\text{доп.}}$, [%]										

3.4. Да се изследва точността при измерване на фазови разлики с аналоговия фазомер!

1.) Осъществява се схема на оптичната постановка, съгласно фиг. 7.2.



Фиг. 7.2

2.) Установява се честота на вградения в макета RC-генератор $f = 1 \text{ kHz}$.

3.) Включва се измервателен обхват на фазомера $\Upsilon_{\text{таб}}=50^\circ$.

4.) Установява се универсалния брояч в режим измерване на интервал време – ΔT .

5.) Калибрира се фазомера за избрания обхват.

Калибровката се извършва чрез задаване на фазова разлика (интервал ΔT), съответстваща на края на обхвата и с помощта на потенциометъра Р2 стрелковата система се установява в искамично показване.

6.) За десет точки, разположени равномерно по обхвата се дават съответни фазови разлики чрез регуляторите на активния дефазатор.

7.) За всяка от тези точки се отчита от универсалния брояч $\Delta T_{\text{таб.}}$ и се изчислява фазовата разлика $\Upsilon_{\text{таб.}}$, която се приема за линейческа (еталонна). Използува се формулата:

$$\Upsilon_{\text{таб.}} = \Delta T_{\text{таб.}} \cdot f \cdot 360, [^\circ].$$

7.) Получените резултати се нанасят в Таблица 7.4.

Таблица 7.4

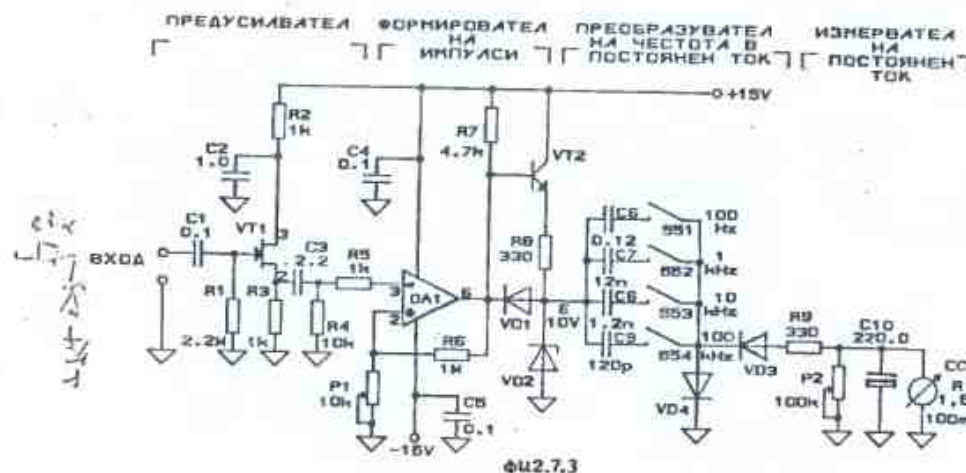
Деления ЧФ-1	10	20	30	40	50	60	70	80	90	100
$\Upsilon_{\text{изм.}}$, [^\circ]										
$\Delta T_{\text{таб.}}$, [ns]										
$\Upsilon_{\text{таб.}}$, [^\circ]										
$\Delta T_{\text{изм.}}$, [ns]										

8.) Аналогични изследвания се провяват и за честота $f = 100 \text{ Hz}$ при измервателни обхвати 50° и 200° .

4. Теоретична част.

4.1. Аналогово измерване на честота.

Преобразувателят "честота в постоянен ток" е изграден на принцип на отдаване на постоянен заряд в измервателен контур, за време $(T_x/2)$, пропорционално на неизвестната честота (f_x). Средната стойност на тока в измервателната верига се определя от постоянния заряд и времето T_x . Електрическата схема, реализираща този принцип е показвана на фиг. 7.3.



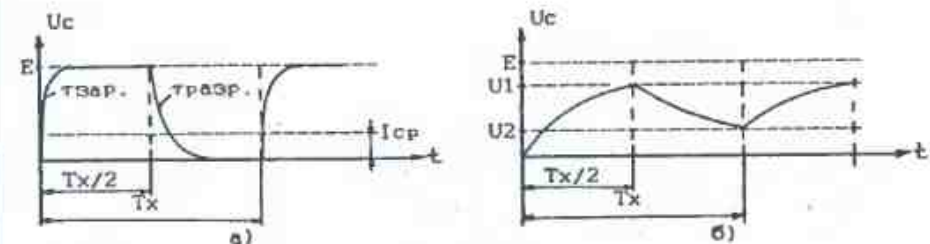
Предназначенето на отделните елементи в нея е следното. Транзистор VT1 осигурява голямо входно съпротивление на измервателя. Формирователят на правосъгълни импулси е реализиран с интегрален компаратор DA1. Приложената положителна обратна връзка чрез резистор R6 и потенциометър P1 осигурява предавателна характеристика с хистерезис, чрез което се повишава шумустойчивостта. Нивото на входния сигнал, при което се задействува честотометър се регулира чрез потенциометъра P1.

Чрез превключване на кондензаторите C6-C9 се избират различните измервателни обхвати. С потенциометъра P2 се регулира чувствителността на отклонение на стрелката на системата. Использува се за калибровка на уреда за определен измервателен обхват.

За положителния полупериод на входното напрежение транзисторът VT2 е отпущен и включения кондензатор (C6-C9) се зареда до пробивното напрежение на ценовия диод VD2 (10V). Зарядната верига е: +Ec (+15 V), колектор-емитер (VT2), съпротивление R8, включния кондензатор (C6-C9), диод VD4 и маса. Времеконстантата на зарядната верига е $\tau_{зар.} = C \cdot R_8$.

За отрицателния полупериод на входното напрежение транзисторът VT2 е запущен и кондензаторът C се разрежда до напрежение определено от разликите в положителните падове на включените в права посока диод VD1 и диода VD3. Разрядната верига е: диод VD1, изход на операционния усилвател OA1, стрелкова измервателна система, резистор R9, диод VD3. Времеконстантата на разряжната верига е $\tau_{разр.} = C / (R_9 + R_1)$.

В диаграмите на фиг. 7.4 а, б е показан нормалния случай, когато кондензаторът успява да се зареди до напрежение E_0 (10V) за времето на положителния полупериод $T_x/2$ и да се разреди напълно за времето на отрицателния полупериод. Количество електричество при зареждане е: $Q = C \cdot E_0$. При разреждане средната стойност на тока е:

$$I_{ср.} = Q/T_x = Q \cdot f_x = C \cdot E_0 \cdot f_x$$


Фиг. 7.4.

Следователно, идеалната (теоретична) функция на преобразуване при този метод за измерване на честота е:

$$(7.3) \quad I = K_f \cdot f_x = C \cdot E_0 \cdot f_x$$

където $K_f = 1/f_x [A/Hz]$ е коефициента на преобразуване.

За по-високи честоти времената на зареждане и разреждане стават съизмерими с времеконстантите тзар. и тразр. (фиг. 7.4 б). За средната стойност на тока през стрелковата система в този случай се получава:

$$(7.4) \quad I' = f_x \cdot C \cdot E_0 \cdot [1 - \exp(-T_x/2\tau_{зар.}) - \exp(-T_x/2\tau_{разр.})]$$

Грешката при високи честоти е:

$$(7.5) \quad \delta_{в.ч.} = (I' - I)/I \text{ или}$$

$$\delta_{в.ч.} = -[\exp(-T_x/2\tau_{зар.}) - \exp(-T_x/2\tau_{разр.})] \cdot 100 [\%]$$

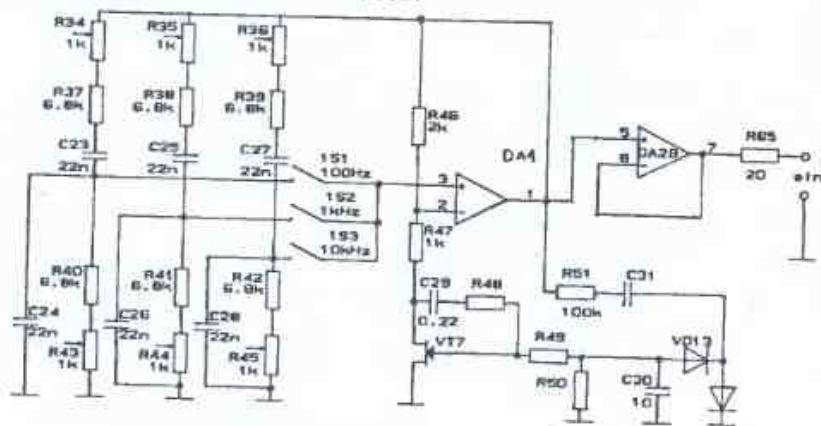
4.2. Устройство и принцип на действие на RC-генератор, активен дефазатор и аналогов фазомер.

RC-генератора и активния дефазатор са взаимно свързани схемни модули. Върху лицевия панел на уреда са изведени 3 двойки букси: sin (0°), cos (90°) и VAR. Последният изход е за напрежение.

чиято фаза може да се изменя в граници 0° – 180° спрямо напрежение "sin". Чрез три бутона се сменя частотата на генерираните сигнали: 100 Hz, 1 kHz и 10 kHz.

Нискочестотен RC-генератор

Генераторът на фиксирани честоти – фиг. 7.5 – е изпълнен по схема с мост на Робинзон-Вин и операционен усилвател DA1 /1/2 1458/. Стабилизирането на амплитудата се осъществява от VT1, участваш като регулируемо съпротивление във веригата на отрицателната обратна връзка. Буферният усилвател DA2, разделя изхода от автогенераторната част на схемата.

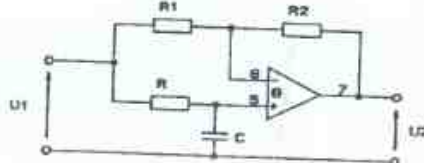


Фиг. 7.5

Дефазатори.

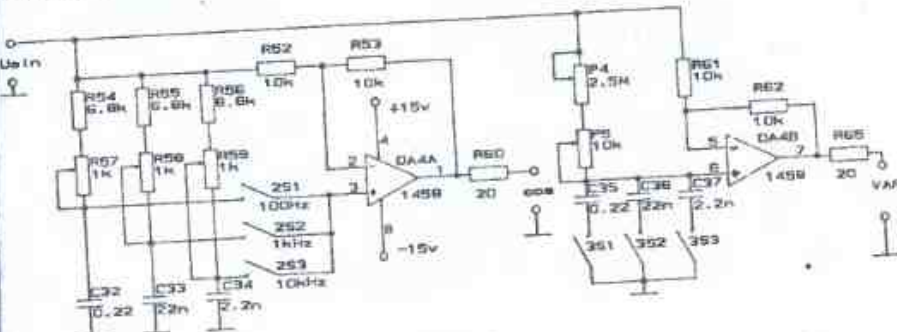
На фиг. 7.6 е дадена в опростен вид дефазиращата схема. Модулът на коефициента на предаване на напрежението в тази схема не зависи от честотата /равномерна амплитудна характеристика/. Но фазовото отговаряване на изходното напрежение спрямо входното напрежение е функция както на честотата, така и на RC-времеконстантите съгласно израза:

$$(7.6) \quad \varphi = \pi - 2\arctg(1/wRC).$$



Фиг. 7.6

Принципните електрически схеми на фиксирания и плавно регулируемия дефазатор са дадени на фиг. 7.7. Дефазаторът на 90° и регулируемият дефазатор от 0° до 180° са реализирани по схеми на активни дефазатори. Промяната на дефазирането от 0° до 180° се извършва на две степени – грубо, чрез потенциометър P4 и фино, чрез потенциометър P5.



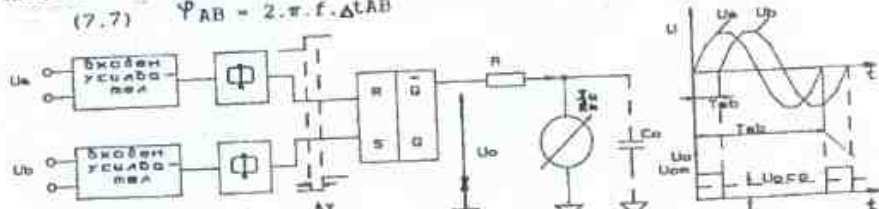
Фиг. 7.7

Аналогов фазомер.

Опростената структурна схема на аналогов фазомер и времеда-
тегните показани на фигура 7.8 позволяват да се изясни съвместта
на преобразуването на фазова разлика в постоянен ток.

Двете напрежения, чиято фазова разлика се изследва, се подават на вход А и Б на схемата. Входните буферни усилватели BU и формирателите Ф формират правосъгълни импулси, които фиксираят моментите на преиздаване на всяко напрежение през нулевата стойност. В изхода на RS-тригър се формира правосъгълно напрежение с широчина на импулсите, пропорционална на фазовата разлика между напрежението.

$$(7.7) \quad \varphi_{AB} = 2\pi f \cdot \Delta t_{AB}$$



Фиг. 7.8

Средната стойност на това напрежение, респективно средната стойност на тока притичаш през стрелковата система (магнитоелектричен тип) са:

$$(7.8) \quad U_{cp} = \frac{1}{T} \int_0^{tAB} U_{om,dt} = U_{om} \frac{\Delta tAB}{T} = U_{om} \frac{Y_{AB}}{2\pi}.$$

$$I_{cp} = \frac{U_{om}}{R} \cdot \frac{Y_{AB}}{2\pi}.$$

Принципната електрическа схема на аналоговия фазомер в уреда ЧФ-1 е показана на фиг. 7.9. Буферните усилватели на двета канала са изпълнени с полевите транзистори VT3 и VT4. Посредством двоични компаратори (К170УП1) формирателите на стробиращи импулси (DD1C, DD1D, R22, C17 и DD1A, DD1B, R23, C28), заедно създават преобразувателя на фазова разлика във временен интервал – тригера DD2A. В изхода на формирателя на образовани по амплитуда импулси VT5, VT6, VD11 се получава правоъгълно напрежение с коефициент на запълване и средна стойност, пропорционални на фазовата разлика. Средната стойност на тока, притичаш през стрелковата система се определя от резисторите R30 – R33, чрез смяната на които се реализират различните измервателни обхвати.

5. Контролни въпроси

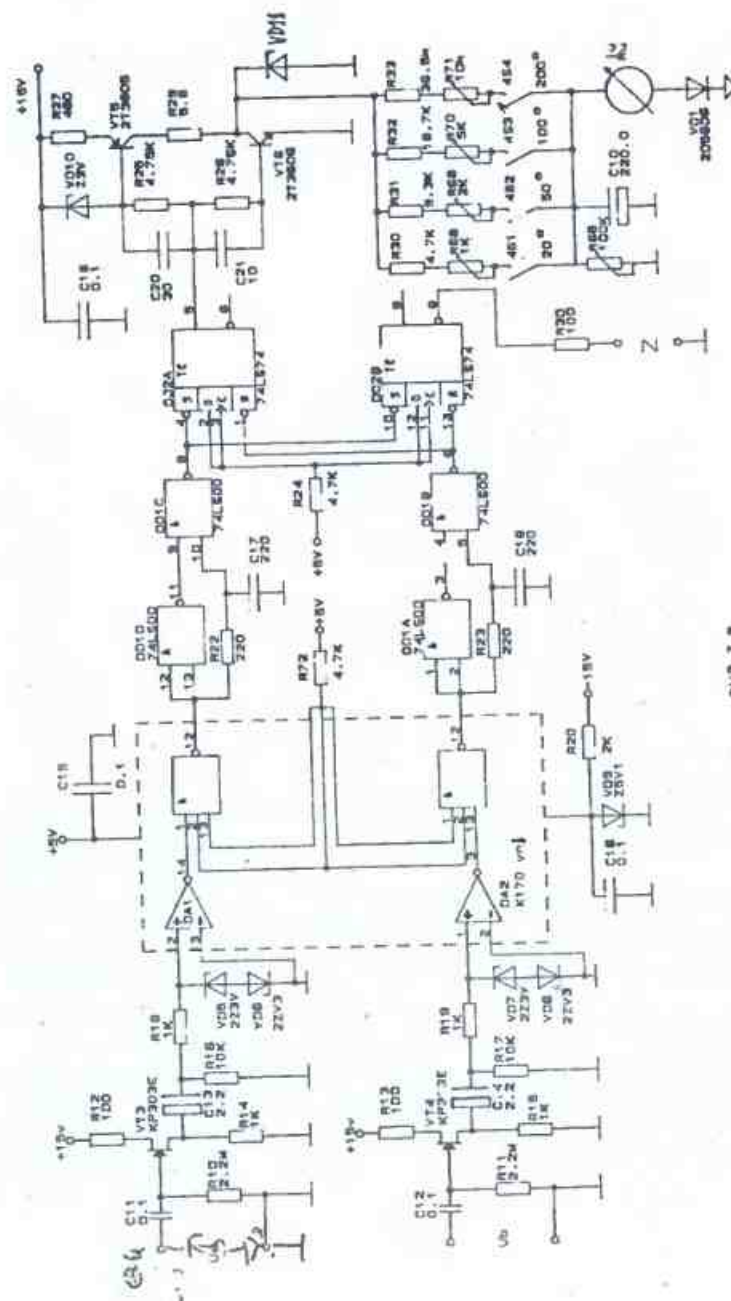
- 5.1. Обяснете принципа на действие на кондензаторния частотомер и изведете функционалната зависимост $I_0 = F(f_x)$!
- 5.2. Обяснете принципа на действие на кондензаторния частотомер изпълнен по схемата на фиг. 7.3! Каква е ролта на отделните елементи в схемата?

5.3. Изредете източници на грешки, произтичащи от принцип на измеряване на частота и конкретната схемна реализация!

5.4. Какво представлява фазовата разлика между две периодични колебания? Каква е връзката между фазов ъгъл, временен интервал и частота?

5.5. Кои са основните параметри на аналогов фазомер? Как се проверяват експериментално?

5.6. Кои са основните параметри на източника на дефазирани напрежения? Как се проверяват?



VIII. УНИВЕРСАЛНИ БРОЯЧИ

1. Цел на лабораторното упражнение.

Целта на лабораторното упражнение е студентите да опознаят структурата и функционалните възможности на универсалните броячи, да се научат да работят с тях и да изследват параметрите им.

2. Техническа окомплектовка.

За провеждане на лабораторното занятие е необходима следната апаратура:

- 2.1. Функционален генератор ($f \geq 10 \text{ MHz}$) - 2 бр.
- 2.2. Електронен осцилоскоп ($f \leq 30 \text{ MHz}$).
- 2.3. Аналогов честотомер-фазомер ЧФ-1.
- 2.4. Универсален брояч УБ-1.

Универсалният брояч УБ-1 измерва честота, период, продължителност на импулси, времени интервали, отношение на две честоти и фазови разлики. Максимален брой значещи цифри на индикацията - 10. В различните режими на работа има следните технически параметри.

2.4.1. Измерва честота на вход А в обхват 1 Hz - 40 MHz.

- с основна грешка $\pm (\Delta f_0/f_0 + m\text{-емр}) = (1.10E-6 + 1 \text{ емр})$; Където: $\Delta f_0/f_0$ е грешката на квадровия генератор, а $m\text{-емр}$ е брой единици от най-младшия разряд.
- време за измерване 10 ms; 0.1s и 1s.
- амплитуда на входния сигнал: 150 mV - 15 V.

2.4.2. Измерва период на входа А в обхват 0.05 ms - 10 s.

- с основна грешка $\pm (\frac{\Delta f_0}{f_0} + \frac{\Delta T_f}{T_0} + m\text{-емр}) = \pm (1.10E-6 + 1.10E-4 + 1 \text{ м-емр})$.

- брой на измерваните периоди: $N = 10^6 n$ ($n=0;1;2;3;4;5;6$) Където $\Delta T_f/T_0$ е грешката при формиране на импулса. При отношение сигнал-шум по-голямо от 20 dB се пренебрегва.

2.4.3. Измерване на продължителност на импулс на вход А в обхват 50ns - 5s.

2.4.4. Измерване временен интервал между два импулса, подадени на вход А и вход В в обхват 100ns - 10s.

2.4.5. Измерва фазова разлика между два сигнала подадени на вход А и вход В в обхват $1' \div 35959'$.

- в честотна област $1\text{Hz} \div 100\text{kHz}$;

- с разрешаваша способност при честота $1\text{Hz} \div 1\text{kHz} 1'$, $1\text{kHz} \div 10\text{kHz} 10'$, $10\text{kHz} \div 100\text{kHz} 1'$.

2.4.6. Измерва отношение между две честоти подадени на вход А и В в обхват $f_A/f_B = 1:1 \div 1:4.10^6$

2.4.7. Измерва честота и период на вход С в обхват:

- честота $0.1 \text{ Hz} \div 100 \text{ MHz} \pm (1.10E-6 + 1 \text{ емр})$;
- период $0.05 \text{ us} \div 10 \text{ s.} \pm (1.10E-6 + 1.10E-4 + 1 \text{ емр})$

3. Задачи за изпълнение.

3.1. Да се разучат принципите за измерване на честота, период, отношение на две честоти и на фазови разлики разгледани в точка 4!

3.2. Да се разучи устройството и функционалните възможности на универсален брояч УБ-1 разгледан в точка 4!

3.3. От вход А на универсалния брояч да се измерят честоти 10 Hz; 1 kHz и 10 MHz за времена на измерване $T_{изм} = 10\text{ms}$, 0.1s и 1s . Да се изчислят за всички случаи относителните грешки от дискретизация! Получените резултати се напечат в таблица 8.1.

Таблица 8.1

Тип	10 ms			0.1 s			1 s		
	$f, (\text{Hz})$	10	1k	10M	10	1k	10M	10	1k
близ., (Hz)									
дискр. [%]									

3.4. Да се измерят същите честоти по вход С и изчислят грешките от дискретизация! Да се сравнят с тези, получени при измерване на вход А!

3.5. Да се измери на вход А на универсалния брояч периода Т на сигнали с честота на повторение 0.1 Hz; 1 kHz и 10MHz, за брой на измерваните периоди $N = 1; 10; 10^6$. Да се изчисли за всички случаи грешката от дискретизация!

3.6. Да се измери на вход А на универсалния брояч продължителността на правовъгълни импулси зададени от функционален генератор за честоти 0.1 Hz; 1 kHz и 10 MHz, при брой на измерваните импулси $N = 1; 10; 10^6$. Да се изчисли за всички случаи грешката от дискретизация!

3.7. Да се измери отношението между две честоти f_A и f_B , зададени от функционални генератори!

Сигналът с по-голяма честота се подава на вход A, а с по-малка на вход B на универсалния брояч UB-1.

3.8. Да се измерят с универсален брояч UB-1 фазови разлики между два сигнала f_A и f_B , генериращи от RC-генератор и дефазатор, за честоти на сигналите f_A и f_B 100Hz, 1kHz и 10kHz.

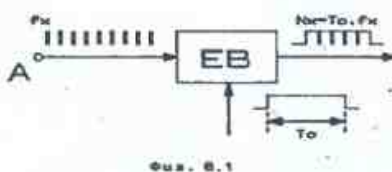
4. Теоретична част.

4.1. Устройство и принцип на действие на универсален брояч UB-1.

Универсалният брояч UB-1 е уред, в който измерванията се осъществяват посредством преброяване на периодично повторящи се импулси за даден интервал от време. Възможни са следните режими на работа:

4.1.1. Режим измерване на честота.

Опростената блокова схема на уреда при измерване на честота е показана на фиг. 8.1.



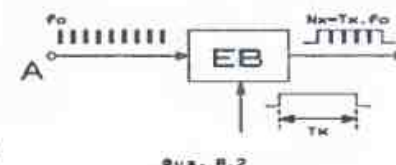
От периодичния сигнал с неизвестна честота f_X се формират краткотрайни импулси. Същите се пропускат през електронна врата EB за образцов отряък от време T_0 . Образцовите интервали от време T_0 се създават от кварцов генератор КГ и цифрово деление на честотата чрез брояч Б2. Броят на пакета импулси получен в изхода на електронната врата е $N_x = f_X \cdot T_0$. Относителната стойност на грешката при измерването е:

$$(8.1) \quad \delta f_X = \frac{\Delta f_X}{f_X} = \pm \left(\frac{\Delta f_0}{f_0} + \frac{1}{N_x} \right).$$

Където: $\Delta f_0/f_0$ е грешката на кварцовия генератор, а $1/N_x$ е грешката от дискретизация.

4.1.2. Режим измерване на период.

Опростената блокова схема на уреда при измерване на период е показана на фиг. 8.2.



В този режим на работа електронната врата EB се отваря за временен интервал T_x , формиран от периода на изследвания сигнал. В този случай броят на пакета импулси получен в изхода на електронната врата е $N_x = f_0 \cdot T_x$. Относителната стойност на грешката при измерването е:

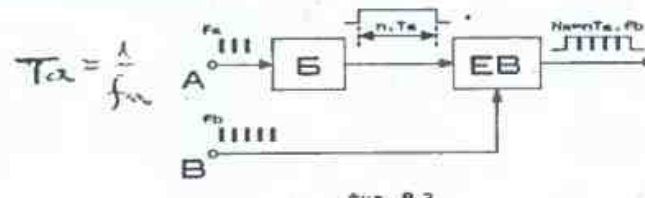
$$(8.2) \quad \delta T_x = \frac{\Delta T_x}{T_x} = \pm \left(\frac{\Delta f_0}{f_0} + \frac{1}{N_x} + \delta \phi \right),$$

където: $\delta \phi$ е допълнителна грешка при формиране на временното интервал T_x .

Грешката от дискретизация $1/N_x$ може да се намали N пъти, ако се измерят N периода.

4.1.3. Режим измерване отношение на две честоти.

Опростената блокова схема на уреда в режим измерване отношение на две честоти е показана на фиг. 8.3.



Сигналът с честота f_A се подава на вход A на уреда. От този сигнал, чрез спомагателен брояч Б се формира временен интервал $n.TA / p$ в коефициент на брояне на брояча/. През този интервал се отваря електронната врата EB и броят на импулсите в изхода на схемата е $N_x = n.TA/f_B$ импулси, или $N_x = n.f_B/T_A$.

4.1.4. Режим измерване на временни интервали.

В този режим универсалния брояч играе ролята на цифров хронометър. Импулси СТАРТ и СТОП формират период с продължителност T_x , който отваря електронната врата EB. От изхода на последната се преброяват импулси $N_x = T_x \cdot f_0$. В този случаи блоковата схема на уреда е както при режим измерване на период.

4.1.5. Режим измерване на фазова разлика.

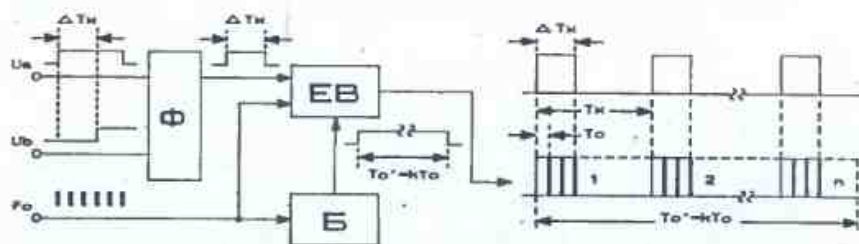
Опростената блокова схема на уреда в режим измерване на фазова разлика е показана на фиг. 8.4.

Фазовата разлика между два сигнала U_a и U_b се измерва чрез предварителното и преобразуване във временен интервал ΔT_{av} .

Използва се бръзката между Φ_{av} и ΔT_{av} :

$$(8.3) \quad (\Phi_{av} = 2 \cdot \pi \cdot f \cdot \Delta T_{av}) \text{ или } \Delta T_x / T_x = \Phi_x / 360.$$

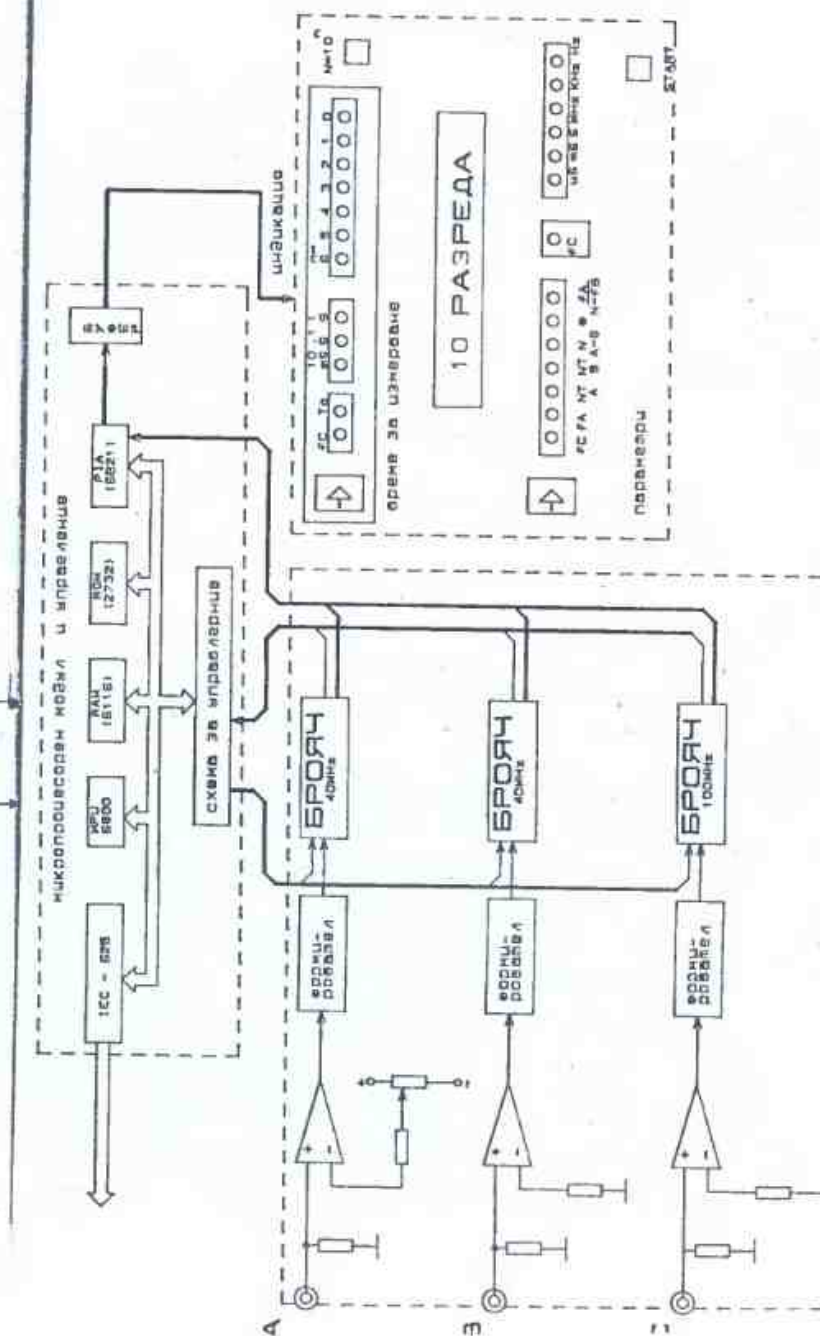
За целта се използват три входа на електронната врата, в резултат на което към основния брояч постъпват пакети от импулси. Общият брой импулси отчетени от основния брояч са $N_x = k \cdot \Phi_{av} \cdot 360$, където k е коефициента на деление на брояч B2.



Фиг. 8.4

4.2. Обобщена структурна схема на универсален брояч УБ-1.

Обобщената структурна схема на уреда УБ-1 е показана на фиг. 8.5. В нея са обособени три основни модула: микропроцесорен модул, измервателен модул и модул клавиатура и индикация.



Фиг. 8.5

4.2.1. Микропроцесорен модул.

Микропроцесорният модул е изграден на базата на микропроцесор MC6800. Осигурява управление на измервателния процес, определя големината и единицата на измерваната величина. С помощта на паралелен интерфейсен адаптер CM 602 тези резултати се извеждат на индикаторния панел.

Чрез инструментален интерфейс IEEE 488 се осигурява възможност ун普遍ализация брояч УБ-1 да осъществи ефективна комуникационна връзка с други автоматизирани измервателни уреди.

4.2.2. Измервателен модул.

Измервателният модул съдържа три самостоятелни входа за измерване на избрания параметър. Всеки вход съдържа диференциални усилватели и формиратели на импулси с TTL ниво. За вход A е предвидено регулиране на нивото на единът вход, с което се постига DC отговаряне на нивото на сработване на канала.

Измервателният модул съдържа собствен генератор на етalonна честота 10 MHz. С помощта на паралелен интерфейсен адаптер CM 602, мултиплексори и буфери е изградена схема за управление на, с помощта на която се комутират вътрешните връзки в измервателния модул, така че да се създаде необходимата измервателна конфигурация на схемата.

4.2.3. Модул клавиатура и индикация.

Това е лицевият панел на уреда. На него са разположени 10 седенсегментни индикатора за индикация на резултата от измерването. Чрез групи от светодиоди допълнително се индицира вида на измерваната величина, броя на измерванията, време за измерване, единиция на резултата, фронт на входния сигнал, по която се провежда измерването и индикация за наличието на сигнал на входовете. На същия панел са разположени бутони за управление на уреда. Чрез тях се подава сигнал към микропроцесорния модул, който се обработва програмно, в резултат на което се определя конфигурацията на измервателната схема за измерване на съответната величина.

5. Контролни въпроси.

5.1. Обяснете принципа на цифрово измерване на честота, период, фазова разлика?

5.2. Задо при измерване на фазова разлика с универсалния брояч честотния обхват е ограничен до 100 kHz?

IX. ИЗМЕРВАНЕ НА RLC-ПАРАМЕТРИ

1. Цел на упражнението.

Целта на упражнението е да запознае студентите с основния метод за измерване на параметрите на двуполюсници чрез преобразуване в електрическо напрежение. Студентите изучават конкретно устройството на RLC-измервател и придобиват практически умения да го използват в практиката, както и да провеждат контролни проверки на качествените му показатели.

2. Техническа окомплектовка.

За провеждане на лабораторното занятие е необходима следната измервателна апаратура и приспособления:

2.1. Набор резистори със стойности в обхватите 10 Ω, 100 Ω, 1 kΩ, 10 kΩ, 100 kΩ, 1 MΩ.

2.2. Набор от кондензатори със стойности в обхватите: 100 pF; 1 nF; 10 nF и 100 nF и диелектрични загуби D < 0.001.

2.3. Набор от бобини със стойности в обхватите 100 μH; 1 mH и 10mH.

2.4. Измервател на параметри на двуполюсници, модел "RLC-1", със следните технически параметри.

2.4.1. Тестващ сигнал – синусоидална форма, честота 5 kHz ± 0.5%, нелинейни изкривявания ≤ 0.5 %, ниво на сигнал – 100 mVrms ± 0.1 mV.

2.4.2. Измерва активни съпротивления R и импеданси Z в измервателни обхвати и точност дадени в таблица 9.1.

Таблица 9.1.

№	Обхват за Z и R, [Ω]	Грешка ±(A % от изм.ст. + C)
1	10	1.5 % + 0.1 Ω
2	100	1 % + 0.8 Ω
3	1 k	1 % + 8 Ω
4	10 k	1 % + 80 Ω
5	100 k	1 % + 800 Ω
6	1 M	2 % + 10 kΩ

2.4.3. Обхвати и точност при измерване на C и диелектрични загуби D:

Таблица 9.2.

N	Обхват за C	Грешка $\pm(1\% \text{ от изм.} + C)$
1	100 pF	1.5 % + 0.5 pF
2	1000 pF	1 % + 5 pF
3	10 nF	1 % + 50 pF
4	100 nF	1 % + 0.5 nF
5	1 mF	1 % + 5 nF
6	10 mF	1 % + 100 nF

Обхвати D	Грешки (% от Dmax)
0.1	5%
1	2%

2.4.4. Обхвати и точност при измерване на L и качествен фактор Q:

Таблица 9.3.

N	Обхват за L	Грешка $\pm(1\% \text{ от изм.} + C)$
1	100 μ H	1.5 % + 1 μ H
2	1 mH	1 % + 5 μ H
3	10 mH	1 % + 50 μ H
4	100 mH	1 % + 500 μ H
5	1 H	1 % + 5 mH
6	10 mF	2 % + 10 mH

Обхвати Q	Грешки (% от Qmax)
0.1	5%
1	2%

3. Задачи за изпълнение

3.1. Да се разучи устройството и принципа на действие на уреда "RLC".

3.2. За схемата от фиг. 9.1 да се определи Ku2 за всичките измервателни обхвати, като се знае, че $R_o = 10 \text{ k}\Omega$, $I_o \text{ max} = 100 \mu\text{A}$, $U_x = 0.1 \text{ V}$ -ефективна стойност. Резултатите се подреждат в таблица 9.6.

Таблица 9.6.

Обхват R	10 Ω	100 $\text{k}\Omega$	1 $\text{k}\Omega$	10 $\text{k}\Omega$	100 $\text{k}\Omega$	1 $M\Omega$
R et	10 Ω	10 $\text{k}\Omega$	1 $\text{k}\Omega$	1 $\text{k}\Omega$	100 $\text{k}\Omega$	100 $\text{k}\Omega$
Ku2						

3.2. Същата задача да се реши при измерване на капацитет и индуктивност. Да се попълни таблица 9.7.

Таблица 9.7.

Обхват C	100pF	1nF	10nF	100nF	1μF	1μF
R et	100 $\text{k}\Omega$	100 $\text{k}\Omega$	1 $\text{k}\Omega$	1 $\text{k}\Omega$	10 $\text{k}\Omega$	10 $\text{k}\Omega$
Ku2						

3.3. Да се изследват техническите характеристики на измервателя "RLC-1".

3.3.1. Измерване на съпротивление.

Работата и изследванията в този режим се провеждат в следната последователност.

1.) Разучава се инструкцията за работа с уреда и се провежда измерване на съпротивление на произволно избран резистор, но с известна стойност.

2.) Избира се определен измервателен обхват и се измерват известни стойности на съпротивления за няколко точки от скалата.

3.) Изчислява се грешката.

4.) Оценявя се, дали грешката е в рамките на допустимите граници. Резултатите се нанасят в таблица 9.8.

Таблица 9.8.

Ret*, [Ω]						
Rизм**, [Ω]						
б изм. [%]						
б доп.***, [%]						
ДА/НЕ						

* Ret – стойност на съпротивлението на образцов елемент.

** Rизм – отчетена стойност от RLCZ-измервателя.

*** б доп – допустима стойност на относителната грешка изчислена на базата на кумулативната и адитивна съставки, дадени в таблица 9.1.

3.3.2. Измерване на капацитет.

Изследването на капацитет се провежда аналогично, на това

за съпротивление от точка 3.3.1., като резултатите се нанасят в таблица 9.9.

Таблица 9.9.

Сет*, [Ω]					
Сизн**, [Ω]					
б изм. [%]					
б доп.***, [%]					
ДА/НЕ					

* Сет – стойност на капацитета на образцов кондензатор

** С – отчетена стойност от RLC-измервател

*** б доп. – допустима стойност на относителната грешка, изчислена на базата на мултипликативната и аддитивната съставки дадени в таблица 9.2.

3.3.3. Измерване на индуктивност.

Измерването на индуктивност се провежда аналогично на това от предишните точки (3.3.1 и 3.3.2), като резултатите се нанасят в таблица 9.10.

Таблица 9.10.

Лет*, [Ω]					
Лизн**, [Ω]					
б изм. [%]					
б доп.***, [%]					
ДА/НЕ					

* Лет – стойност на индуктивността на образцова бобина

** Л – отчетена стойност от RLC – измервател

*** б доп. – интегрална стойност на относителната грешка, изчислена на базата на мултипликативните съставки, дадени в таблица 9.4.

3.3.4. Измерване на импеданс

Измерването на импеданс се провежда аналогично на това от предишните точки (3.3.1, 3.3.2, 3.3.3). Необходимите стойности за импеданса се получават чрез подходящо свързване на еталонните резистори, капацитети и индуктивности. Резултатите се нанасят в таблица 9.11.

Таблица 9.11.

Зет*, [Ω]					
Лизн**, [Ω]					
б изм. [%]					
б доп.***, [%]					
ДА/НЕ					

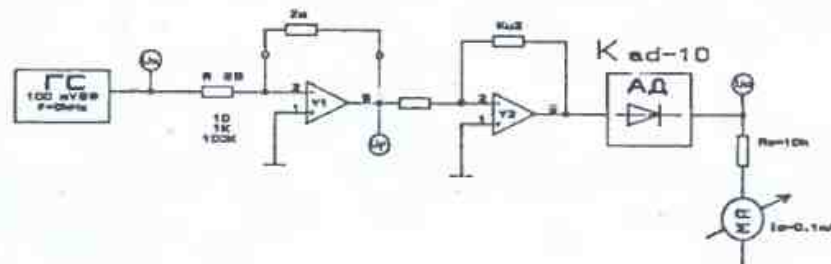
4. Теоретична част

4.1. Метод на RLC-измерване.

В измервателя на RLCZ-параметри модел "RLC-1" е приложен методът на Z-U преобразуване. В зависимост от вида на измервания елемент се създават различни измервателни конфигурации.

4.1.1. Измерване на R и Z.

За измерване на съпротивление на резистори и импеданс Z се използва схемната конфигурация показана на фигура 9.1.



Фиг. 9.1

За напрежението в изхода на преобразувателя може да се напише:

$$(9.1) \quad U_R = \frac{U_x}{R_{et}} \cdot |Zx|.$$

При фиксирано мяво на сигнала U_x и известна стойност на съпротивлението R_{et} напрежението U_r се усилва допълнително, след което сигнала се детектира с амплитуден детектор АД и измерва със стрелкова система от магнитоелектричен тип. Функцията на преобразуване, характеризираща целия измервателен процес е:

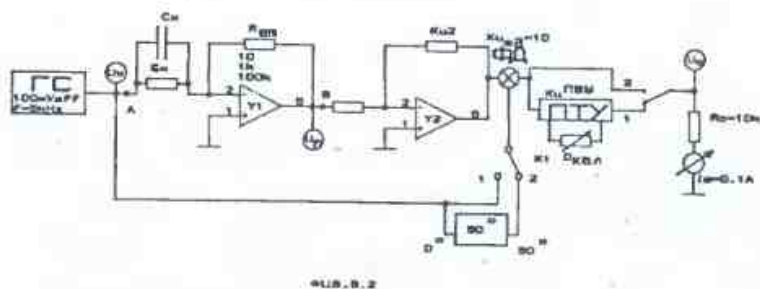
$$(9.2) \quad |Z_x| = \frac{R_{et}}{Ku2 \cdot Kad} \cdot \frac{Ro \cdot Io}{U_x}$$

Където $Kad = 10$ е коефициентът на преобразуване на активния детектор; Ro – общото съпротивление тъй като веригата на стрелковата измервателна система ($Ro = 10 \text{ k}\Omega$).

В (9.2) като се замести $Io = Io_{max} = 100 \text{ mA}$, $U_x = 0.100 \text{ V}$ (ефективна стойност) за комбинациите на $R_{et} = 10 \Omega, 1 \text{ k}\Omega, 100 \text{ k}\Omega$ с $Ku2 = 1$ или 0.1 се получават измервателните обхвати за R и $|Z|$.

4.1.2. Измерване на капацитет и диелектрични загуби.

За измерване на капацитет и диелектрични загуби се използва схемна конфигурация, показана на фиг. 9.2. Тук кондензаторът е представен с паралелна еквивалентна схема.



Фиг. 9.2

За напрежението U_r в изхода на преобразувателя е валиден изразът:

$$(9.3) \quad U_r = -U_x \frac{R_{et}}{Z_x} \quad \text{или} \quad U_r = -U_x \cdot R_{et} (G_x + j \cdot w \cdot C_x),$$

$$\text{Където } \frac{1}{Z_x} = Y_x = G_x + j \cdot w \cdot C_x \quad \text{и} \quad w = 2 \cdot \pi \cdot f = 2 \cdot \pi \cdot 5000 \text{ Hz}.$$

От (9.3) за G_x и C_x може да се напише:

$$(9.3.6) \quad G_x = \frac{\text{Re}[U_r]}{U_x \cdot R_{et}} \quad (9.3.6) \quad C_x = \frac{\text{Im}[U_r]}{w \cdot U_x \cdot R_{et}},$$

където $\text{Re}[U_r]$ – е съставката на напрежението U_r , която съвпада по фаза с U_x (реална съставка), а $\text{Im}[U_r]$ – съставката дефазирана на 90° спрямо U_x (имагинерна съставка). Тяхното разделено измерване, а от там и реализацията на възможността за пряко отчитане на величините C_x и G_x се осъществява с помощта на фазовия детектор ФД, включен в измервателната конфигурация от фиг. 9.2. За целта фазовия детектор се управлява от напрежение, което е или във фаза, или изместено на 90° спрямо напрежението U_x . При положение 2 на ключа $K1$ (90°) и ключа $K2$, в изхода на фазовия детектор се получава постоянно напрежение $U_{oim} = \text{Im}[U_r] \cdot K_{fd} \cdot Ku2$. Тук с K_{fd} е означен коефициентът на детекция на фазовия детектор ($K_{fd} = 10$). Тогава за функцията на преобразуване, валидна за целия измервателен канал, може да се напише:

$$(9.4) \quad C_x = \frac{Ro}{w \cdot R_{et}} \cdot \frac{Io}{Ku2 \cdot U_x \cdot K_{fd}}$$

В (9.4) като се замести Io с $Io_{max} = 100 \text{ mA}$, $U_x = 0.100 \text{ V}$ ефективна стойност се получават 6 измервателни обхвата при измерване на капацитет. За измерване на диелектричните загуби се използва зависимостта:

$$(9.5) \quad D = \frac{G_x}{w \cdot C_x} = \frac{\text{Re}[U_r]}{\text{Im}[U_r]}$$

За да се получи непосредствено отчитане на D от скалата на измервателната система се използва възможността за управление на коефициента на усиливане Кипту на постояннотоковия усилвател. Процедурата е следната:

1.) Измерва се капацитета на кондензатора C (по описаната процедура).

2.1 Включва се бутон D , $1/Q$, при което ключа $K2$ е в положение 1 и включва в измервателния тракт постояннотоковия усилвател. Ключа $K1$ запазва предишно си състояние – положение 2 – 90° .

3.1 Задава се обхват $D = 1$.

4.) Посредством регулатор $D(\text{кал.})$ се установява показане на стрелката 100 деления за да се калибрира обхват $D_{max} = 1$.

5.) Включва се бутон D в полето за обхвати, при което ключа $K1$ се превключва в положение 0°, с което се измерва напрежението

$Re[Ur] < Im[Ur]$. От скалата с обхват $D_{max} = 1$ се отчитат диелектричните загуби.

6.) Ако $D < 0.1$, се увеличава 10 пъти усиливнето на постояннотоковия усилвател, с което измерваният обхват се трансформира в $D_{max} = 0.1$.

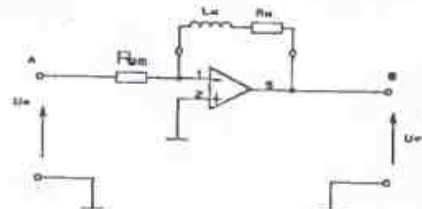
4.1.3. Измерване на индуктивност и качествен фактор.

Измерване на индуктивност.

Елементите с подчертано индуктивен характер, обикновено се представят с последователна еквивалентна схема:

$$Z_x = R_x + jwL_x.$$

При измерване на индуктивност за основа се използва схемната конфигурация, показана на фиг. 9.3. Тогава функционалните пръзки между параметрите на бобината и напреженията U_x и U_r са следните:



Фиг. 9.3

$$(9.6) \quad Z_x = R_x + jwL_x = Ret \cdot \frac{U_r}{U_x}, \text{ от където следва:}$$

$$(9.7) \quad L_x = \frac{Ret}{w \cdot U_x} \cdot Im[U_r].$$

Индуктивността L_x се измерва с помощта на фазовия детектор, включен в измервателната конфигурация (вж. фиг. 9.2.). За целта фазовия детектор се управлява от напрежение известено на 90° спрямо напрежението U_x . При положение 2 на ключа K_1 в изхода на фазовия детектор се получава напрежение $U_{oim} = Im[U_r] \cdot K_f \cdot K_2 = I_o \cdot R_o$, от където $Im[U_r] = (I_o \cdot R_o) / (K_2 \cdot K_f)$. От тук въз основа на (9.7) за индуктивноста L_x е в сила следната релация:

$$(9.8) \quad L_x = \frac{Ret}{w \cdot U_x} \cdot \frac{I_o \cdot R_o}{K_2 \cdot K_f}.$$

В (9.8) като се замести $I_o = I_{o max} = 100 \mu A$, $U_x = 100 mV$ за комбинациите на Ret (10Ω , $1 k\Omega$, $100 k\Omega$) с K_2 (1 и 0.1) и $K_f=10$ се получават 6 измервателни обхвата за измерване на индуктивност.

Измерване на качествен фактор.

От (9.6) следва:

$$(9.9) \quad R_x = \frac{Ro}{U_x} \cdot Re[U_r].$$

За измерването на качествения фактор се използва зависимостта:

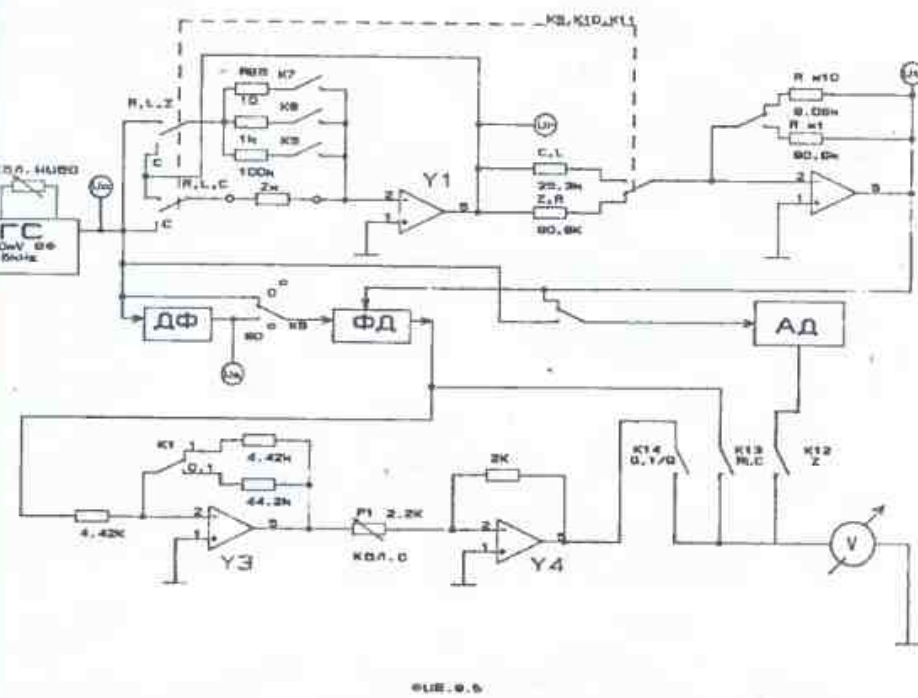
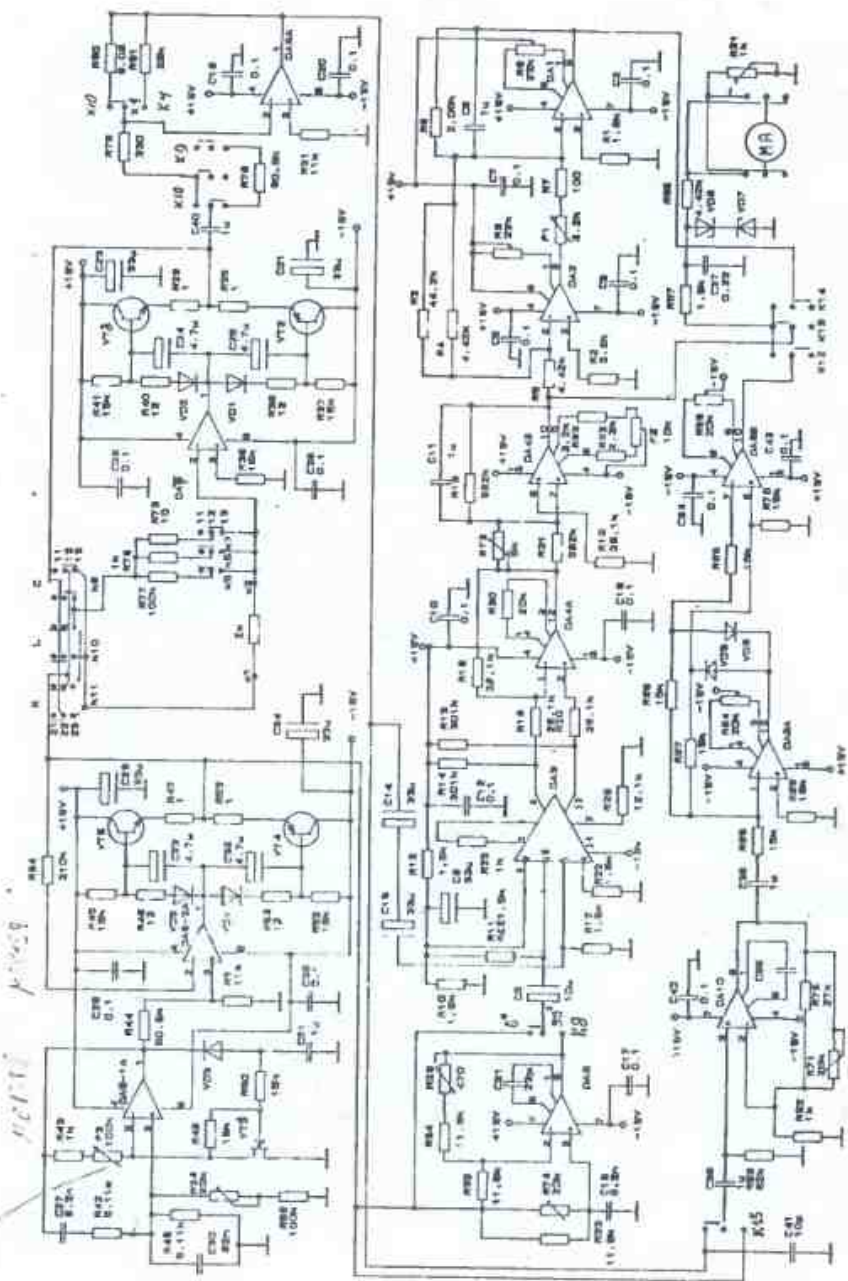
$$(9.9) \quad D_x = \frac{1}{O_x} \cdot \frac{R_x}{w \cdot L_x} = \frac{Re[U_r]}{Im[U_r]}.$$

За отчитане на качествения фактор, фазовия детектор се управлява с напрежение, като не е известено фазово спрямо напрежението U_x . За да се отчита реципрочната стойност на качествения фактор $1/D_x$ непосредствено от скалата на измервателната система се използва възможността за управление кофициента – Килпу на постояннотоковия усилвател. Процедурата за отчитане на тази стойност е същата, както при отчитането на диелектрични загуби при кондензатори. Стойността за O_x се намира чрез допълнително изчисление въз основа на измерената стойност D_x според (9.9).

4.2. Принципна електрическа схема

Принципната електрическа схема на уреда "RLC-1" е показана на фиг. 9.4. Тя е съставена така, че да помага да се осъществят всички видове измервания, описани до тук. Опростена схема е дадена на фиг. 9.5. Генераторът на синусоидално напрежение е реализиран с ИС DA8-1A. Полевият транзистор VT1 служи за стабилизация на амплитудата на синусоидалното напрежение. Последната може да се изменя плавно в тесни граници с потенциометъра P3 (кат. ниво). Необходимото напрежение $U_o = 100 mV$ се получава в изхода на повторителя, изгълен с DA8-2A, VT5 и VT4.

Мостовата схема се състои от DA7, транзистори VT3, VT2 и прилежащите им елементи. Усилвателят DA7 е включен по схема на инвертиращ усилвател. Напрежението му в изхода зависи от стойността на включния ѹндиканс и еталонния резистор.



Фазовият детектор е изграден със специализираната интегрална схема ИМП1496-ДАЗ, диференциалния усилвател DA4-4 и филтъра DA4-8. постоянното напрежение в изхода на DA4-8 е пропорционално на измервания капацитет, индуктивност или съпротивление. Калибровка в нулата се осъществява посредством потенциометър P2 (нул., L, C). В целята при С-измервания входът на уреда е отворен, а при L и R – измервания се дава накъсо.

Сигналът U_{y0}^* за управление на фазовия детектор се взема непосредствено от изходното напрежение на генератора. Сигналът U_{y90}^* е получаван от активен дефазатор на 90° , изпълнен със схема DA6 и включениите RC елементи. Необходимата нормализация за изходното напрежение на моста при различните режими на измерване се съществува от нормализиращ усилвател – DA5 (инвертиращ променливотоков усилвател). Изменението "x1" и "x10" се осъществява, чрез смяната на резисторите R81 и R80, с необходимия корекционен коефициент при измерване на R и L. С се определя, чрез конутация на езисторите R75 и R76.

Амплитудният детектор съдържа предварителен усилвател – схема DA10, с коефициент на усиливане 10 и двупътен преизведен детектор, включващ схема DA9Д, диоди VD8, VD9 и схема DA9В. В изхода на последната схема се получава постоянно напрежение, пропорционално на постъпващото на входа на променливо напрежение.

С операционни усилватели DA1 и DA2 е реализиран постоянното-ко-усилвател, чиято коефициент на усиливане може да се изменя стъпално от 1 до 10 чрез превключване на резистори R3, R4 и плавно 1 път, чрез потенциометъра P1 ("КАЛ.Д"). Този канал се използва за усиливане на постоянното напрежение в изхода на фазовия детектор "ФД" при измерване на диелектрични загуби D или на 0. За отчитане на измерваните напрежения се използва стрелкова система от магнитоелектричен тип с ток за крайно отклонение 100 μ A и вътрешно съпротивление $R_1 = 3.5 \text{ k}\Omega$. С нея и елементите R57, R58, R61 и C37 е изграден постояннотоков волтметър с обхват 1 V и входно съпротивление $R_{bx} = 10 \text{ k}\Omega$.

4.3. Инструкция за работа с уреда.

Измерването в различните режими се извършва, както следва:

4.3.1. Измерване на импеданс на двуполюсника.

– Включва се измервания двуполюсник към клечите "Zx" на уреда.
– Натиска се бутон "R" от полето за управление режимите на работа (поле "B").

– Бутоните за обхват от същото поле се поставят в положение включващо предполагаемата стойност на импеданса.

– Натиска се бутон "Z" от полето за управление на отчитането (поле "A").

– При включен бутон "КАЛ.НИВО" с потенциометъра за калибровка се настройва нивото на тестовия сигнал – 100 mVeff.

– При изключване на бутон "КАЛ.НИВО" се отчита измерената стойност на импеданса Zx.

Забележка. При измерване на Z от полето "B" задължително се изключва бутонът D!

4.3.2. Измерване на съпротивление.

– Включва се измерваният резистор към клечите "Zx".
– Натиска се бутон "R" от поле "B".
– Поставят се бутоните за обхват от същото поле в положение включващо предполагаемата стойност на Rx.

– Натискат се бутоните "Z" и "КАЛ.НИВО" от поле "A" и с потенциометъра за калибровка се настройва нивото на тестовия сигнал 100 mVeff.

– Натиска се бутон "R, L, C" от поле "A" и "D" от поле "B".

– Закъсяват се с къс проводник клечите "Zx" и с потенциометъра "НУЛ.Л.С" се нулира показанието на пробора.

– Премахва се късното съединение и се отчита измерената стойност на резистора Rx.

4.3.3. Измерване на капацитет и диелектрични загуби на кондензатори.

При отворен вход на клечи "Zx" се извършват следните операции:

– Натиска се бутон С от поле "B" (бутон D от поле "B" изключен).

– Поставят се бутоните за обхват на С от поле "B" в положение включващо предполагаемата стойност на Cx.

– Натискат се бутоните "Z" и "КАЛ.НИВО" от поле "A" и с потенциометъра за калибровка се настройва нивото на тестовия сигнал – 100 mV.

– Натиска се бутон "R, L, C" от поле "A" и с помощта на потенциометъра "НУЛ.Л.С" се нулира показанието на прибора.

– Сързва се измерваният кондензатор към клечи "Zx" на уреда и се отчита получената стойност за капацитета Cx.

– За отчитане на D се извършват следните допълнителни операции:

– Натиска се бутон "1/Q" от поле "A".

– Натиска се бутон "x1" от поле "ОБХВАТ D".

– Посредством потенциометъра "КАЛ:LC" се довежда показанието на стрелката в края на скалата.

– Включва се бутон D от поле "B". Уредът е готов да измерва параметъра D в обхват 1.

– Изключва се измерваният кондензатор и с потенциометъра "НУЛ.Л.С" се нулира показанието на прибора.

– При повторно включване на кондензатора се отчита D.

– Обхват 0,1 се установява, чрез натискане на бутон "0,1".

4.3.4. Измерване на индуктивност и качествен фактор.

– Включва се измерваната бобина към клечите "Zx" на уреда.
– Натиска се бутон "L" от поле "B".

-Бутоните за обхватата от същото поле се поставят в положение включващо предполагаемата стойност на L_x .

-Натискат се бутоните "2" и "КАЛ.НИВО" от поле "A" и с потенциометъра за калибровка се настройва нивото на тествания сигнал - 100 mV.

-Натиска се бутон "RLC" от поле "A" (бутон D изключен).

-Закъсват се с къс проводник клеките "Zx" и с потенциометъра "НУЛ.L.C" се нулира показанието на прибора.

-Премахва се късото съединение и се отчита показанието.

За отчитане на качествен фактор се извършват следните допълнителни операции:

-Натиска се бутон "1/Q" от поле "A".

-Натиска се бутон "1" от поле "ОБХВАТИ".

-С потенциометъра "КАЛ.L.C" се довежда отчета за L_x в краината точка на обхват.

-Натиска се бутон "D" от поле "B".

-Пават се накъсък клеките "Zx" и с потенциометъра "НУЛ.L.C" се нулира показанието на прибора.

-При премахване на късото съединение се отчита измерената стойност за Q, която е реципрочната стойност на показанието за D.

5. Контролни въпроси.

1.) Обясните принципа на Z - U преобразуване с помощта на автокомпенсационния мост. Изведете изразите, които се използват при измерване на параметрите на кондензаторите.

2.) Изследвайте израза за преобразуване на капацитет в напрежение по отношение на влиянието на грешките (или нестабилността) на факторите участници в преобразуването.

3.) Кои източници-грешки при реализираната схема на RLC-измервателя внасят грешка от мултипликативен, и кои от адитивен характер.

4.) Би ли се подобрила точността на измерването с RLC-измервателя, ако отчитането на детектираното напрежение, вместо със стрелкова система се отчита цифрово? Какво решение за цифрово отчитане бихте използвали?

5.) Обясните защо се увеличава неточността при измерване на малки диелектрични загуби в изследвания RLC-измервател?

X. КОМПЮТЪРЕН АНАЛИЗATOR НА ПОЛУПРОВОДНИКОВИ ЕЛЕМЕНТИ

1. Цел на лабораторното упражнение

Целта на упражнението е да се запознаят студентите с компютърни съвременни средства за изследване на статични характеристики и параметри на полупроводникови елементи и интегрални схеми, както и да усвоят работата с тях.

2. Техническа окомплектовка

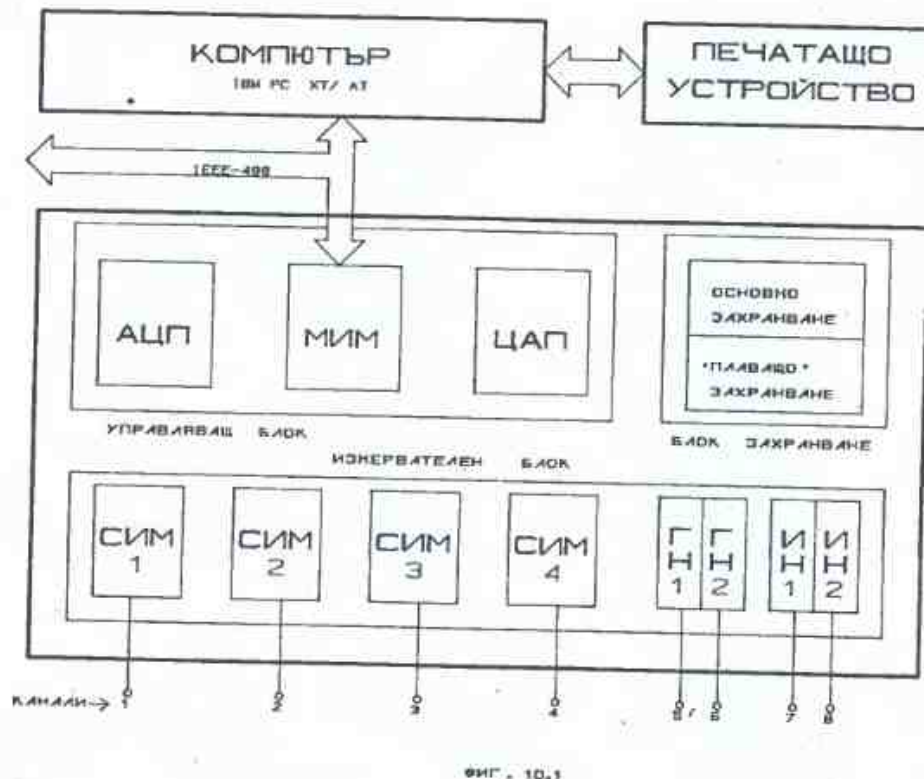
За провеждане на лабораторните занятия е необходима следната техническа окомплектовка:

- * Анализатор на полупроводникови елементи АСИК АПЕ-01 (или версия 02)
- * Системен контролер – персонален компютър "Правец 16" – оперативна памет 640 kB, твърд диск 10 MB, флоти-дисково устройство 360 kB:
 - интерфейси: CENTRONICS, IEEE-488 (ИИС-2);
 - аритметичен процесор 8087;
 - системен и приложен софтуер ИСАПЕ – 26р. дисети 5.25";
- * печатащо устройство М88
- * комутиращо и контактуващо приспособление АСИК ТП-03;
- * калибровъчни елементи и елементи за тестване: резистори, шинди, биполярни и полеви транзистори, оптрони, риг-релета, операционни усилватели, цифрови интегрални схеми.

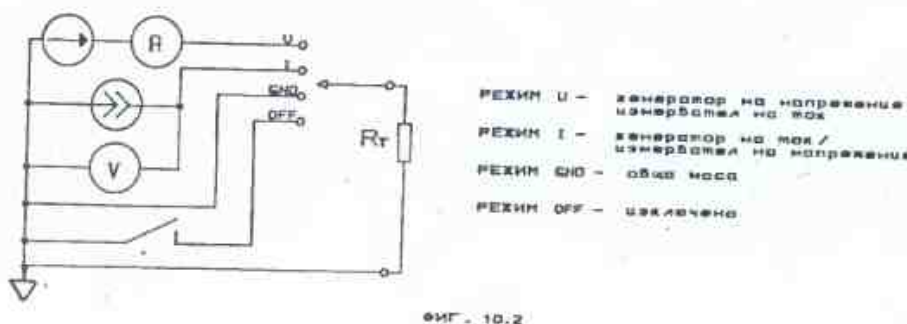
2.1. Техническо описание на компютърния анализатор АСИК АПЕ-02

2.1.1. Общо описание на . уреда.

Архитектурната организация на системата е показвана на фиг. 10.1. В измервателната част на уреда са включени 4 броя стимулиращо-измервателни модула СИМ1, СИМ2, СИМ3, СИМ4, два генератора на напрежение ГН1, ГН2 и два измервателя на напрежение ИН1, ИН2. 16-канален аналог-цифров преобразувател обслужва измерването, а 10-канален цифрово-аналогов преобразувател – стимулирането. Микропроцесорен интерфейсен модул осъществява управлението на системата, като интерфеината част, посредством инструменталния интерфейс ИИС-2, осъществява обмена на информация между системния контролер и инструменталната част на системата.



ФИГ. 10.1



ФИГ. 10.2

2.1.2. Техническа характеристика на модулите за стимулиране и измерване

2.1.2.1. Стимулиращо-измервателни модули СИМ1, СИМ2, СИМ3, СИМ4 генерираят постоянно напрежение и измерват съответния ток през тествания обект (товар) или обратно – генерираят постоянен ток и измерват полученото напрежение върху товара. Източниците генерираят двуполярен ток или напрежение. СИМ имат следните метрологички характеристики:

Табл.1. Режим генериране или измерване на ток:

Обхвати*	99.9мA	9.99мA	999мA	99.9мA	9.99мA	999нA	99.9нA	9.99нA	999пA
Разреш.	100нA	10нA	1нA	100нA	10нA	1нA	100пA	10пA	1пA
Грешка**	0.3 + 0.2					0.5+ .2		1 + 0.2	

* Автоматично ограничаване на напрежението:

20V за $I > 50mA$; 40V за $50mA > I > 20mA$; 100V за $I < 20mA$.

** Всички грешки тук и по-долу са дадени както следва:

Грешка = A% от измерена стойност + B% от цялата скала

Табл.2. Режим генериране или измерване на напрежение:

Обхвати*	99.99 V	39.99 V	9.999 V	3.999 V
Разреш.	50 mV	20 mV	5 mV	2 mV
Грешка	0.1 + 0.1			

* Автоматично ограничаване на тока:

100мA за $U < 10V$; 50мA за $10V < U < 40V$; 20мA за $40V < U < 100V$.

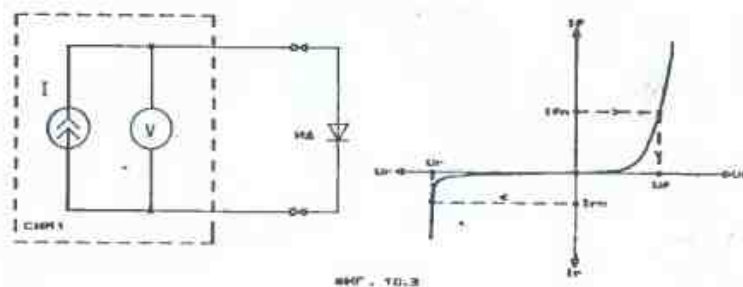
2.1.2.2. Генератори на напрежение СН1 и ГН2:

$$\pm 20 V \pm (0.1\% + 0.1\%)$$

2.1.3. Режими на работа и техника на измерване със СИМ

Стимулиращо-измервателните модули могат да работят по избор във всеки един от четирите режима на работа (фиг. 10.2.). В режим "I" се програмира желана стойност за тока I_0 и се задава ограничение за напрежението U_{ogr} върху товара. Ако по никаква причина $I_0 \cdot R_t > U_{ogr}$, изколното напрежение се ограничава до U_{ogr} , а действителният протичаш ток през товара е $I = U_{ogr}/R_t < I_0$. В режим "U" се програмира желана стойност за напрежението U_0 и се задава ограничение за тока I_{ogr} . Ако $U_0/R_t > I_{ogr}$, то върху товара се установява напрежение $U = I_{ogr} \cdot R_t < U_0$.

В зависимост от програмата модули СИМ могат да изпитват или единоточково измерване – функция CONST (снема се една точка от съответната статична характеристика), или развивка – функция VAR. При функция CONST се задава една стойност на тока или напрежението и се измерва алтернативната величина. Този режим се използва за експресна проверка на класификационни параметри (производствен контрол, лабораторни проверки и пр.). На фиг. 10.3. е илюстриран случай, при който може да се проверят параметрите на диод: U_f (падение на напрежението в права посока) и U_r (U_{br}) (пробивно напрежение). За целта един от модулите СИМ се свързва към диода. В режим генератор на ток за $I = +I_{fn}$ се отчита параметъра U_f , а за $I = -I_{fn}$ – параметъра U_r (U_{br}).



Фиг. 10.3

Функцията развивка на СИМ се използва за снемане на статични характеристики. Една статична характеристика се получава от един стимулиращо-измервателен модул. За снемане на семейство статични характеристики се използва също един СИМ, задаващ третата електрическа величина. В случая разливката на втория СИМ е зависима и се нарича подглънена развивка (VAR2), а тази на първия модул е главна (VAR1). Така например при снемане на изходни статични характеристики на биполярен транзистор $I_c = f(U_{ce})$, модулът СИМ, който ще работи в изходната верига на транзистора изпълнява главна развивка, а този на входа, задаващ базовия ток – подглънена. Случая в илюстриран на фиг. 10.4. СИМ1 работи в режим генератор на напрежение/измервател на ток. Програмират се следните величини на тази развивка, която се явява главна (VAR1):

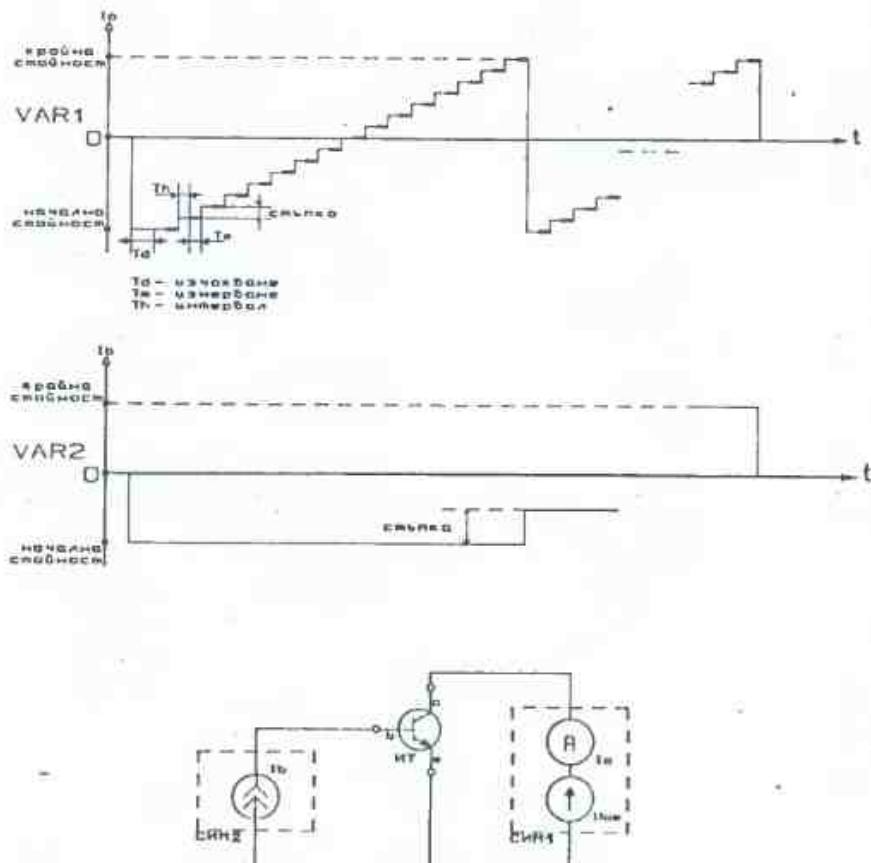
- начална стойност на напрежение със своя знак;
- крайна стойност на напрежение със своя знак;
- брой стъпки за напрежението (ако се зададе напрежение, съответствуващо на една стъпка, системата автоматично определя броя на стъпките и обратно);
- първоначално време на изчакване в милисекунди;
- интервал (пауза) между измерванията в милисекунди;
- точност на измерване (време за измерване);
- линейна или логаритмична развивка;

Точността при измерване с модул СИМ има три програмириаеми степени. Те са определени от броя равноточни измервания, от които се получава усреднена стойност. Ето како избраната точност влияе и върху времето за измерване:

Точност	Брой равноточни измервания	Време за измерване
Нормална	1	100 мс
Повишена	16	1.6 мс
Висока	256	25.6 мс

3. Задачи за изпитване

3.1. Задавайте се с техническото описание на системата АСИК АЛЕ-02 и в съответствие с инструкцията за работа с нея проследете основното меню, избора на опции и протокола, чрез които се формира заданието за измерване.



ФИГ. 10.4

- 3.2. Проведете диагностичните процедури на системата АСИК АПЕ-02
- 3.3. Снемете волт-амперна характеристика на образцов резистор Вет (приет като еталон) и оценете адитивната и мултитипликативна грешка на комплекса стимул-измервател за произволно избран СИМ.
- 3.4. Съставете задание за измерване (протокол) на параметрите U_f и U_{fr} (У_{бр}) на диод (примерно $I_{fn} = 10\text{mA}$ и $I_{rn} = 1\text{nA}$). Реализирайте тестване на 2 – 5 диода и запишете получените резултати.
- 3.5. Съставете задание за измерване на напрежението на стабилизиращия U_z на ценови диоди. Чрез два теста за различни точки на стабилизационната характеристика ($I_z = 5\text{mA}$, $I_z = 10\text{mA}$) по изчислителен път намерете $R_z = \Delta U_z / \Delta I_z$.
- 3.6. Съставете задание за измерване на волт-амперна характеристика на диод в право посока ($I_{max} = 10\text{mA}$), проведете измерването и документирайте резултатите в графичен и табличен вид с помощта на печатащо устройство:
 - a/ за линеен машаб по оста на тока;
 - b/ за логаритмичен машаб по оста на тока (3 декади);
 Сравнете двете графики.
- 3.7. Съставете задание за измерване на произволно избран параметър на биполярен транзистор. Проведете тестване на 2 – 5 броя транзистори и сравнете получените резултати.
- 3.8. Съставете задание за измерване на статични колекторни характеристики на биполярен транзистор $I_C = f(U_{ce})$, I_B и документирайте резултатите от тестването в графичен вид:
 - a/ за стойност на базовия ток 1 μA ;
 - b/ за стойност на базовия ток 20 μA ;
- 3.9. Съставете задание за измерване на входни характеристики на биполярен транзистор (за $U_{ce} = 0\text{V}$, $U_{ce} = 6\text{V}$), проведете измерване и документирайте резултатите в графичен вид.
- 3.10. Съставете задание за измерване на проходни характеристики на полеви транзистор $I_D = f(U_{gs})$, $U_{ds} = 6\text{V}$, проведете измерването и документирайте резултатите в табличен и графичен вид. Определете параметрите U_p и I_{dss} .
- 3.11. Съставете задание за измерване на входна характеристика на полеви транзистор $I_{gs} = f(U_{gs})$, $U_{ds} = 6\text{V}$.

- 3.12. Изследвайте характеристиките на биполярен транзистор като електронен ключ:
- а/ $I_c = f(U_{ce})$ за $U_{ce} =$ от $-0.5V$ до $+0.5V$ и $I_b = 10\mu A, 0.1mA, 1mA$. Определете параметрите $R_C = U_{ce}/I_{ce}$ и U_{co} (за $I_c = 0$)
- б/ $I_c = f(U_{ce})$ за $U_{ce} =$ от $-0.5V$ до $+10V$ и $U_{be} = 0V$.
- 3.13. Съставете задание за измерване на изходното напрежение на произволно избран генератор на напрежение ГН с помощта на произволно избран измервател на напрежение ИН. Анализирайте резултатите.
- 3.14. Да се изследват характеристикиките на рид-реле и се определят:
- а/ ток и напрежение на включване;
- б/ ток и напрежение на изключване;
- в/ съпротивление на бобината на релето.
- 3.15. Да се изследва предавателната характеристика на TTL логически елемент:
- а/ на инвертор (1/6 SN 7404);
- б/ на NAND (1/4 SN 7400);

4. Контролни въпроси.

- 4.1. Кои са основните режими на работа на СИМ?
- 4.2. За какво се използва функцията "разшивка" на СИМ?
- 4.3. Съставете структурна измервателна схема и задайте режимите на работа на СИМ за измерване на JFET транзистор.

ЛИТЕРАТУРА

1. Стоянов, И.И. Измервания в електрониката и изчислителната техника. С. Техника 1987.
2. Абубажиров, К.Г. и др. Измерение параметров радиотехнических цепей. М. 1981.
3. Гарет П. Аналоговые устройства для микропроцессоров и мини ЭВМ. МИР 1981.
4. Гнатек, Ю.Р. Справочник по цифро-аналоговых и аналого-цифровых преобразователей. Е.Л. 1976.
5. Кузнецова, В.А. Измерения в электронике – Справочник. М. Энергоатомиздат. 1987.
6. Кузьмичев Д.А. Автоматизация экспериментальных исследований.
7. Новицкий, П.В., И.А. Зограф. Оценка погрешностей результатов измерения. "Энергоатомиздат". Ленинград, 1985.
8. Рего, К.Г. Метрологическая обработка результатов технических измерений. "Техника", Киев, 1987.
9. Эилукас П.Ю. Измерение параметров цифровых микросхем. М. Радио и связь. 1982.
10. Спиралски Л. И. Измерване на интегрални схеми. С. Техника, 1981.

РЪКОВОДСТВО ЗА ЛАБОРАТОРНИ УПРАЖНЕНИЯ ПО ИЗМЕРВАНИЯ В
ЕЛЕКТРОНИКАТА

проф. к.т.н. Иван Ил. Стоянов, гл. ас. Димитър Г. Тодоров,
ст. ас. Огнян Н. Маринов, ст. ас. к.т.н. Марин Б. Маринов,
ас. Ангел В. Марков, и.с. Николай П. Братанов